

**Wykonawca**

GEOMINER Michał Kamiński  
ul. Łódzka 17, 50-521 Wrocław

**Zlecniodawca:**

ABK-Projekt  
ul. Lisowskiego 2/4  
65-072 Zielona Góra

**Inwestor:**

Gmina Wisznia Mała  
ul. Wrocławska 9  
55-114 Wisznia Mała

## **OPINIA GEOTECHNICZNA Z DOKUMENTACJĄ BADAŃ PODŁOŻA GRUNTOWEGO**

dla kompleksu szkolno-sportowo-kulturalnego  
przy ul. Szkolnej w miejscowości Wisznia Mała

działki nr 68 i 69 ob. Wisznia Mała

**Miejscowość:** Wisznia Mała  
**Gmina:** Wisznia Mała  
**Powiat:** trzebnicki  
**Województwo:** dolnośląskie

**Zespół autorski:**

mgr inż. Michał Kamiński  
geolog inżynierski

Wrocław, październik 2020

## Spis treści

<b>1</b>	<b>WPROWADZENIE</b>	<b>3</b>
<b>2</b>	<b>CHARAKTERYSTYKA INWESTYCJI</b>	<b>3</b>
<b>3</b>	<b>LOKALIZACJA OBIEKTU BADAŃ</b>	<b>3</b>
<b>4</b>	<b>OPIS ZASTOSOWANYCH METOD BADAWCZYCH</b>	<b>4</b>
4.1	OTWORY BADAWCZE	4
4.2	SONDOWANIA DYNAMICZNE	4
4.3	BADANIA LABORATORYJNE PRÓBEK GRUNTU	5
4.4	WYDZIELENIE WARSTW GEOTECHNICZNYCH	5
<b>5</b>	<b>WYNIKI PRAC TERENOWYCH</b>	<b>6</b>
5.1	BUDOWA GEOLOGICZNA I WARUNKI HYDROGEOLOGICZNE	6
5.2	WARUNKI GEOTECHNICZNE	7
5.3	OCENA JAKOŚCI PODŁOŻA GRUNTOWEGO	8
5.4	DOPŁYWY DO WYKOPU FUNDAMENTOWEGO	10
<b>6</b>	<b>WYKORZYSTANE MATERIAŁY</b>	<b>10</b>
<b>7</b>	<b>WNIOSKI</b>	<b>11</b>

## Spis załączników

- 1. PLAN SYTUACYJNY W SKALI 1:500**
- 2. KARTY OTWORÓW GEOTECHNICZNYCH**
- 3. PRZEKROJE GEOTECHNICZNE**
- 4. KARTY SONDOWAŃ DYNAMICZNYCH**
- 5. WYNIKI BADAŃ LABORATORYJNYCH PRÓBEK GRUNTU**
- 6. TABELA WARTOŚCI PARAMETRÓW GEOTECHNICZNYCH WYDZIELONYCH WARSTW**

## 1 Wprowadzenie

Przeprowadzone prace terenowe miały na celu rozpoznanie warunków gruntowo - wodnych podłoża gruntowego dla projektowanych budynków użyteczności publicznej – kompleksu szkolno-sportowo-kulturalnego. Ocena parametrów gruntów przedstawiona w niniejszym opracowaniu oparta została na wykonanych w terenie geotechnicznych otworach badawczych, sondowaniach dynamicznych, obserwacjach makroskopowych, badaniach laboratoryjnych, danych literaturowych oraz materiałach archiwalnych. Zakres prac obejmujący ilość, głębokość i lokalizację otworów badawczych został zatwierdzony przez Zleceniodawcę.

Niniejsze opracowanie dotyczy ustalenia geotechnicznych warunków posadowienia obiektu budowlanego i nie będzie przedmiotem zatwierdzenia przez organy administracji geologicznej, zgodnie z ustawą *Prawo geologiczne i górnicze* z dnia 09.06.2011 r. (Dz. U. z 2020 r. poz. 1064).

Warunki geotechniczne posadowienia zostały wykonane zgodnie z rozporządzeniem Ministra Transportu, Budownictwa i Gospodarki Morskiej z dnia 25 kwietnia 2012 r. w *sprawie ustalenia geotechnicznych warunków posadowienia obiektów budowlanych* (Dz. U. Nr 1212, poz. 46).

## 2 Charakterystyka inwestycji

Planowane jest wybudowanie budynków użyteczności publicznej kompleksu szkolno-sportowo-kulturalnego jako budynku o dwóch kondygnacjach nadziemnych, niepodpiwniczonym, z płaskim dachem o nawierzchni zielonej z rozchodników oraz skośnymi pokrytymi dachówką płaską. W budynku będą się mieścić 3 pomieszczenia dla dzieci przedszkolnej i 4 młodzieży szkolnej klas I-III, pomieszczenia sanitarne oraz węzeł żywieniowy, bibliotekę, pomieszczenia specjalne, a także aulę ogólnodostępną. Na parterze hali sportowej będzie się znajdowała hala o wymiarach 19x36 m, szatnie oraz pomieszczenia techniczne. Na I piętrze znajdować się będzie 8 sal dla uczniów klas IV-VIII, świetlica, sala językowa i fizyczno-chemiczna oraz część administracyjna wraz z zapleczem socjalno-sanitarnym. Na drugiej kondygnacji znajdować się będą dwie sale fitness oraz balkon dla widowni hali sportowej na 45 osób. Budynek w rzucie przypomina odwróconą literę „C” o wymiarach maksymalnych 46,1 x 71,6m wraz z dołączonym łącznikiem budynkiem hali sportowej od strony północnej o wymiarach. Głębokość i ostateczny kształt fundamentów zostaną dobrane po uwzględnieniu wyników niniejszego opracowania.

Projektant zaliczył przedmiotowy obiekt budowlany do I kategorii geotechnicznej.

## 3 Lokalizacja obiektu badań

Działka, na której przewidziano budowę budynku zlokalizowana jest na dz. ewid. nr 69 przy ulicy Szkolnej, w północnej części Wiszni Małej. Teren działki jest niezabudowany. Działka nie jest zadrzewiona i zakrzewiona. W jej obrębie znajdują się sieci infrastruktury technicznej: 2 x woda  $\phi$  100 mm, oraz sieć teletechniczna. W trakcie wierceń znajdowało się na niej obszar nieużytkowany. W najbliższym sąsiedztwie działki znajdują się budynki mieszkalne, droga gminna oraz budynek szkoły. Od strony południowej, zachodniej i północnej działka graniczy z rowami melioracyjnymi. Wjazd na działkę możliwy jest poprzez wjazdy znajdujące się po stronie NE i SE.

Wiercenia przeprowadzono zgodnie z wytycznymi przedstawionymi przez Zleceniodawcę. Lokalizację obszaru objętego programem badań przedstawiono w załączniku nr 1.

Część południowo-zachodnia działki jest obniżona w stosunku do północno-wschodniej o około 2,0 – 2,5 m. Teren opada ku rowom melioracyjnym, przede wszystkim ku zachodowi i południowemu-zachodowi.

Zgodnie z podziałem na jednostki fizyczno-geograficzne Polski teren badań znajduje się w makroregionie Nizina Śląska, w mezoregionie Równina Oleśnicka. Teren znajduje się w bezpośrednim sąsiedztwie mezoregionu Wzgórza Trzebnickie, do których zaliczona jest już miejscowości Wysoki Kościół w odległości kilkuset metrów na północ od terenu objętego pracami. Teren nie jest zagrożony podtopieniami oraz ruchami masowymi.

## **4 Opis zastosowanych metod badawczych**

### **4.1 Otwory badawcze**

Prace terenowe zostały wykonane w dniu 16 i 17 października 2020r. Otwory geotechniczne wykonano przy użyciu ręcznego zestawu wierzącego Eijkelpamp, narzędziem Edelmana o średnicy 70 i 100mm z marszem 0,05 do 0,1m. W trakcie prac wiertniczych na bieżąco prowadzono opis geologiczny gruntów oraz wykonywano rozpoznanie makroskopowe próbek gruntu zgodnie z PN-02480:1986 oraz PN-EN ISO 14688:2006, a także wykonano pomiary zwierciadła wody. Na próbkach osadów spoistych dokonywano na bieżąco pomiarów wytrzymałości na ściskanie penetrometrem tłoczkowym. Po zakończeniu wiercenia i dokonaniu pomiarów zwierciadła wód podziemnych, otwory zostały zlikwidowane z zachowaniem kolejności przewiercanych warstw.

Łącznie wykonano 10 otworów do głębokości od 2,0 do 4,0 m ppt. w rejonie projektowanych budynków oraz dróg dojazdowych. Łączny metraż wiercenia wyniósł 36,0 mb. Wiercenia geotechniczne zostały wykonane w obrębie projektowanych budynków i dróg dojazdowych. Lokalizację otworów ustalono na lokalizacji GPS, kontrolując odległości do punktów stałych w terenie. Rzędne terenu przy otworach określono za pomocą niwelacji technicznej. Rozmieszczenie otworów przedstawiono na planie sytuacyjnym w załączniku nr 1. Karty otworów geotechnicznych zamieszczono na załącznikach nr 2.1 – 2.5., zaś przekroje geotechniczne zawarto w załączniku nr 3.1 – 3.3.

### **4.2 Sondowania dynamiczne**

Sondowanie dynamiczne lekką sondą dynamiczną DPL wykonano w dniu 17 października 2020 r. do głębokości 0,7 m ppt. Łącznie wykonano 2 sondowania dynamiczne oznaczone symbolem S3 przy otworze O3 i S10 przy otworze O10. Sondowania dynamiczne wykonano po odwierceniu otworów geotechnicznych w odległości równej 25 średnic otworu – 2,0 m od otworu. Sondowanie zostało wykonane zgodnie z PN-B-04452:2002 oraz PN-EN 1997-2 Projektowanie geotechniczne. Karty wynikowe badań zagęszczenia gruntów niespoistych zamieszczono jako załącznik nr 4.1 i 4.2.

#### 4.3 Badania laboratoryjne próbek gruntu

Próbki gruntu do badań laboratoryjnych zostały pobrane z otworów metodą B zgodnie z *EN ISO 22475-1*. Uzyskano próbki gruntów klasy jakości 3. Pozwoliły one na przeprowadzenie badań laboratoryjnych w celu ustalenia wilgotności naturalnej, gęstości objętościowej, granicy płynności i granicy plastyczności oraz wyznaczenie stopnia i wskaźnika plastyczności, a także swobodnego oznaczenia zawartości części organicznych. Przed transportem, a bezpośrednio po pobraniu, próbki zostały zabezpieczone i opisane, a następnie były przechowywane w warunkach, na które nie miały wpływu warunki atmosferyczne. Karty wynikowe badań laboratoryjnych gruntu zamieszczono jako załącznik nr 5.1 i 5.2.

#### 4.4 Wydzielenie warstw geotechnicznych

Na podstawie wykonanych otworów geotechnicznych oraz materiałów archiwalnych wydzielono warstwy geotechniczne w gruntach rodzimych podłoża. Wydzielenie warstw, jednorodnych pod względem cech genetycznych, fizycznych i mechanicznych. Parametry geotechniczne poszczególnych warstw określono metodą A i B (na podstawie normy PN-B-03020:1981), gdzie parametrem wiodącym był stopień zagęszczenia i stopień plastyczności. Opis gruntów występujących w podłożu inwestycji dokonano na podstawie normy PN-B-02480:1986 oraz PN-EN ISO 14688-1:2006. Obie klasyfikacje zamieszczono na kartach otworów geotechnicznych w załączniku nr 2.

##### Schemat wydzielenia warstw geotechnicznych dla gruntów niespoistych:

- I – piaski drobne i piaski pylaste (z domieszkami);
  - II – piaski średnie i piaski grube (z domieszkami);
  - III – pospółki i żwiry (z domieszkami);
  - a – zagęszczone
  - b – średniozagęszczone
  - c – luźne
  - 1,2,3 – wydzielenie w obrębie klasy zagęszczenia (od najmniej zagęszczonej do najbardziej).
- Przykład Ib1 – piaski drobne lub piaski pylaste średniozagęszczone.

##### Schemat wydzielenia warstw dla gruntów spoistych:

- A, B, C, D – grupa konsolidacji wg PN-B-03020:1981
- 1 – stan zwarty i półzwarty,
- 2 – stan twardoplastyczny,
- 3 – stan plastyczny,
- 4 – stan miękkooplastyczny,
- a, b, c - wydzielenie w obrębie klasy plastyczności (od najmniejszej do największej).

Średnie charakterystyczne i obliczeniowe wartości parametrów fizykomechanicznych wydzielonych warstw geotechnicznych podłoża przedstawiono w formie tabelarycznej na zał. nr 6.

## 5 Wyniki prac terenowych

### 5.1 Budowa geologiczna i warunki hydrogeologiczne

Z wykonanych wierceń małośrednicowych wynika, że w budowie geologicznej podłoża pod projektowany budynek użyteczności publicznej i drogi dojazdowe w Wiszni Małej biorą udział utwory czwartorzędowe. Najstarszymi rozpoznanymi osadami są gliny zwałowe zlodowacenia (zlodowacenie środkowopolskie). Gliny lodowcowe cechują się zróżnicowaną barwą od szaro-żółtej w stropie poprzez odcienie szaro-brązowe do ciemnoszarej w części spągowej otworów O4, O5, O7, O8 i O10. W otworze O1 w części spągowej gliny zawierają znaczny udział iłu, przez co określono je jako gliny zwięzłe. Spągu osadów gliniastych nie przewiercono. W obrębie kompleksu glin zwałowych występują niekiedy przewarstwienia piaszczyste, zbudowane głównie z piasków średnich, niekiedy gliniastych. Takie osady rozpoznano we wszystkich otworach z wyjątkiem O2, O4 i O5. Miąższość przewarstwień jest niewielkie, zazwyczaj nie przekracza 50 cm, jednak są zawsze nawodnione. Nad kompleksem gliniastym zalegają czwartorzędowe – plejstocenyjskie piaski eoliczne, wykształcone jako żółte piaski średnie, rzadziej piaski drobne i piaski pylaste, których miąższość wynosi od 0,3 m do O8 m. Całość terenu jest pokryta warstwą holocenyjskiej gleby, koloru czarnego miąższości około 0,2-0,6 m. W otworze O1 rozpoznano holocenyjskie osady zastoiskowe wykształcone jako namuły gliniaste barwy czarnej. Sięgają do głębokości 1,8 m ppt. zalegając na warstwie piasków. W otworze O1 i O2 od powierzchni występują osady antropogeniczne – nasypy.

Pomiary hydrogeologiczne wykonane w październiku 2020 r. wykazały obecność swobodnego oraz napiętego zwierciadła wód podziemnych, a także sączenia wód podziemnych we wszystkich otworach wiercniczych. Rozpoznano ustabilizowane zwierciadło wody podziemnej na głębokości 0,94 – 1,30 m p.p.t., co odpowiada rzędnym wysokościowym 155,36 do 157,26 m. Najwyżej zwierciadło wód podziemnych stabilizuje się w otworze O2, zaś najniżej w O1. Warstwę wodonośną budują utwory piaszczyste oraz gliniaste z przewarstwieniami piaszczystymi. Woda podziemna występuje niekiedy w postaci intensywnych sączeń pomiędzy pakietami gliniastymi, powodując powstanie lustra wody, pomimo braku warstwy wodonośnej w utworach niespoistych.

Charakter przepuszczalności utworów piaszczystych jest średni - dla piasków drobnych ze współczynnikiem filtracji w granicach  $1 \cdot 10^{-4}$ -  $1 \cdot 10^{-5}$  m/s, piasków pylastych i gliniastych słaba, gdzie k zawiera się w przedziale  $1 \cdot 10^{-5}$ -  $1 \cdot 10^{-6}$  m/s , zaś gliny oraz namuły są odpowiednio utworami półprzepuszczalnymi charakteryzującymi się współczynnikiem filtracji w granicach  $1 \cdot 10^{-6}$  -  $1 \cdot 10^{-8}$  m/s (Pazdro 1983). Pomiarów wody dokonano w czasie wysokich stanów wód, dlatego istnieje możliwość obniżenia się poziomu wód gruntowych. Woda podziemna pochodzi z infiltrujących opadów atmosferycznych oraz z roztopów pokrywy śnieżnej, dlatego niewykluczone są naturalne wahania wysokości zwierciadła wód podziemnych nawet o 0,50 m. Wyniki pomiarów zwierciadła wód podziemnych przedstawiono w tab. 1. Na skutek długotrwałych i intensywnych opadów w przypowierzchniowej warstwie piasków, infiltrująca woda może zatrzymać się na stropie utworów spoistych (glin), skąd zaczyna przepływać horyzontalnie zgodnie spadkiem stropu utworów trudnoprzepuszczalnych.

Bazą drenażu dla przedmiotowego terenu są okalające teren rowy melioracyjne przylegające do granic działki 69, dlatego odpływ wód następuje w kierunku południowo-zachodnim i zachodnim.

Dla przedmiotowego terenu prac nie wykonano „Mapy zagrożenia powodziowego” oraz „Mapy ryzyka powodziowego”, toteż teren badań leży poza obszarem szczególnego zagrożenia powodzią. Teren położony jest poza obszarem zagrożonym podtopieniami.

Tab. 1 Pomiary głębokości zwierciadła wód podziemnych z dnia 16-17.10.2020

Nr otworu	Rzędna terenu przy otworze	Głębokość i rzędna do nawierconego zwierciadła wody		Głębokość i rzędna do ustabilizowanego zwierciadła wody		Głębokość i rzędna sączeń wody	
		[m p.p.t.]	[m n.p.m.]	[m p.p.t.]	[m n.p.m.]	[m p.p.t.]	[m n.p.m.]
O1	156,50	1,80	154,70	1,14	155,36	-	-
O2	158,20	1,10	157,10	0,94	157,26	1,1	157,10
O3	157,20	1,40	155,80	1,12	156,08	1,0	156,20
O4	158,40	1,10	155,40	1,02	155,48	-	-
O5	157,30	1,50	156,70	1,02	157,18	1,5	155,80
						2,4	154,90
O6	158,50	1,10	156,10	0,95	156,25	1,1	157,40
						3,0	155,50
O7	158,60	1,00	155,50	1,00	155,50	-	-
O8	157,30	1,30	156,90	1,30	156,90	2,9	154,40
						3,5	153,80
O9	157,80	1,00	156,20	1,00	156,20	-	-
O10	158,60	1,07	155,43	1,07	155,43	-	-

## 5.2 Warunki geotechniczne

Zgodnie z przyjętą metodyką przedstawioną w rozdziale 4.4, w podłożu wydzielono warstwy geotechniczne gruntów rodzimych spoistych i niespoistych. Wszystkie charakterystyczne i obliczeniowe, średnie wartości parametrów geotechnicznych przedstawiono w tabeli załącznik nr 5.

**Warstwa Ib – holoceneskie piaski drobne i piaski pylaste** w stanie średnio zagęszczonym, wilgotne, o średnim stopniu zagęszczenia 0,37, grupa nośności G1-G2,

**Warstwa IIa – plejstoceneskie piaski średnie** w stanie zagęszczonym, nawodnione, o średnim stopniu zagęszczenia 0,70, grupa nośności G1,

**Warstwa IIb – plejstoceneskie piaski średnie ze żwirem, niekiedy zaglinione** w stanie średnio zagęszczonym, wilgotne do nawodnionych, o średnim stopniu zagęszczenia 0,50, grupa nośności G1-G2,

**Warstwa IIc – plejstoceneskie piaski średnie zaglinione** w stanie luźnym, nawodnione, o średnim stopniu zagęszczenia 0,33, grupa nośności G3,

**Warstwa B2a – plejstocieńskie gliny, gliny zwięzłe, gliny pylaste i piaski gliniaste** w stanie twardoplastycznym, mało wilgotne, o średnim stopniu plastyczności 0,05 i średnim wskaźniku konsystencji 0,95, wytrzymałość na ściskanie penetrometru tłoczkowego 2,0-3,25 kg/cm<sup>2</sup>, grupa nośności G4,

**Warstwa B2b – plejstocieńskie gliny, gliny pylaste i gliny piaszczyste** w stanie twardoplastycznym, mało wilgotne, o średnim stopniu plastyczności 0,20 i średnim wskaźniku konsystencji 0,80, wytrzymałość na ściskanie penetrometru tłoczkowego 1,5-2,0 kg/cm<sup>2</sup>, grupa nośności G4,

**Warstwa B3 – plejstocieńskie gliny, niekiedy z otoczkami** w stanie plastycznym, wilgotne, o średnim stopniu plastyczności 0,30 i średnim wskaźniku konsystencji 0,70, wytrzymałość na ściskanie penetrometru tłoczkowego 0,5-1,0 kg/cm<sup>2</sup>, grupa nośności G4,

**Warstwa A1 – plejstocieńskie gliny** w stanie półzwartym, mało wilgotne, o średnim stopniu plastyczności 0,00 i średnim wskaźniku konsystencji 1,00, wytrzymałość na ściskanie penetrometru tłoczkowego >4,0 kg/cm<sup>2</sup>, grupa nośności G4,

**Warstwa A2a – plejstocieńskie gliny** w stanie twardoplastycznym, mało wilgotne, o średnim stopniu plastyczności 0,05 i średnim wskaźniku konsystencji 0,95, wytrzymałość na ściskanie penetrometru tłoczkowego 2,75-3,5 kg/cm<sup>2</sup>, grupa nośności G4,

**Warstwa A2b – plejstocieńskie gliny piaszczyste i piaski gliniaste** w stanie twardoplastycznym, mało wilgotne, o średnim stopniu plastyczności 0,15 i średnim wskaźniku konsystencji 0,85, grupa nośności G4,

**Warstwa OR2 – holocieńskie namuły gliniaste** w stanie twardoplastycznym, małowilgotne. Rozpoznano je w otworze O1, na głębokości od 0,2 do 1,8 m ppt. Ze względu na skład granulometryczny są to gliny pylaste, z zawartością substancji organicznej na poziomie 7,8%, a więc grunty średnio organiczne.

**Warstwa NN – antropogeniczne nasypy niekontrolowane** w składzie których wyróżniono głównie glinę pylastą, z domieszką gleby i gruzu. Ze względu na niekontrolowany charakter oraz zróżnicowany skład nie zostały w niej określone parametry geotechniczne. Grunty te powinny zostać usunięte z wykopów budowlanych przed budową. Grunty antropogeniczne zostały zaklasyfikowane do I grupy wg Drągowskiego

**Warstwa O – holocieńska gleba** w składzie której dominuje materia organiczna. Ze względu dużą zawartość części organicznych nie zostały w niej określone parametry geotechniczne. Grunty te powinny zostać całkowicie usunięte z wykopów budowlanych przed budową.

### 5.3 Ocena jakości podłoża gruntowego

Na podstawie przeprowadzonych badań stwierdzono, że podłoże budowlane charakteryzuje się występowaniem gruntów rodzimych o zróżnicowanej genezie. Występują tu głównie utwory spoiste i niespoiste pochodzenia lodowcowego oraz organiczne pochodzenia zastoiskowego. Od powierzchni



zalegają osady eoliczne. Wszędzie na głębokości od 0,94 do 1,3 m ppt. udokumentowano wody podziemne lub sączenia., a więc poniżej głębokości przemarzania gruntu. W podłożu występują złe warunki wodne.

Klasyfikację gruntów i ich przydatność do budowy podano na podstawie genezy, uziarnienia i cech fizyczno – mechanicznych (Wiłun 1987).

Udokumentowane warstwy geotechniczne niespoistych gruntów rodzimych warstwy **Ib**, **Ila** i **Ilb** reprezentowane przez średnio zagęszczone piaski drobne oraz zagęszczone piaski średnie, zaliczyć można do gruntów o **dobrej** przydatności jako podłoże budowlane. Posiadają one korzystne parametry geotechniczne, a ponadto charakteryzują się dobrą nośnością i niską odkształcalnością. Grunty te zaliczono do grupy nośności podłoża nawierzchni G1 i G2. Po zdjęciu nadkładu warstwy mogą się rozgęścić na skutek odprężenia. Ponadto są to grunty niewysadzinowe.

Warstwy gruntów średnio spoistych **A1**, **A2a** i **A2b** zbudowane z półzwartych glin oraz twardoplastycznych gruntów mało spoistych i średnio spoistych warstw **B2a** i **B2b** wykształconych jako gliny, gliny piaszczyste i piaski gliniaste cechują się **dobrą** przydatnością do budowy. Są to osady prekonsolidowane. Grunty te zaliczono do grupy nośności podłoża nawierzchni G4.

Warstwy gruntów średnio spoistych **B2a** i **B2b** zbudowane z twardoplastycznych gruntów mało spoistych, średnio i zwięzła spoistych warstw **B2a** i **B2b** wykształconych jako gliny, gliny piaszczyste, piaski gliniaste gliny pylaste i gliny zwięzłe cechują się **dostateczną** przydatnością do budowy. Grunty te zaliczono do grupy nośności podłoża nawierzchni G4.

Warstwa **B3** zbudowana z plastycznych glin pylastych oraz **Ilc** zbudowana z piasków średnich zaglinionych w stanie luźnym stanowią grunty o **złej** przydatności do budowy. Warstwy **OR2** zbudowane z namulów gliniastych cechują się **bardzo złą** przydatnością do budowy.

Grunty antropogeniczne, sklasyfikowane w warstwie geotechnicznej **NN** oraz glebę należy zaliczyć do **słabonośnych, nie nadających** się do posadowienia obiektów budowlanych ze względu na zawartość gruzu budowlanego, odpadów, a także duże zróżnicowanie materiału budującego, wysoką odkształcalność i osiadanie pod wpływem przyłożonego obciążenia. Grunty antropogeniczne zostały zaklasyfikowane do grupy III wg Drągowskiego.

Należy ponadto pamiętać, że wszystkie udokumentowane grunty spoiste są gruntami wysadzinowymi, wrażliwymi na dodatkowe zawilgocenie. Przy zawodnieniu oraz ewentualnie występujących drganiach pochodzących np. od mechanicznego sprzętu budowlanego, mogą ulec uplastycznieniu, pogarszając swoje pierwotne parametry wytrzymałościowe. Dlatego też, grunty te wymagają szczególnego z nimi postępowania i ochrony przed niekorzystnymi czynnikami. W przypadku wykonywania podsypek piaszczystych pod fundamenty nie należy ich zagęszczać metodą wibracyjną. Nie należy również dopuścić do zalania np. wodą opadową wykopu. Zaleca się wykonanie wykopów bezpośrednio przed fundamentowaniem. Jeżeli nie jest to możliwe to należy zabezpieczyć dno wykopu przez pozostawienie co najmniej 0,3 m warstwy gruntu, która zostanie zdjęta dopiero przed rozpoczęciem prac fundamentowych.

## 5.4 Dopływy do wykopu fundamentowego

Projektant nie określił głębokości posadowienia obiektu. Obliczenia dopływów do wykopów należy prowadzić po ustaleniu rzędnej posadowienia fundamentów i odnieść do wyników pomiarów hydrogeologicznych zalegania zwierciadła wód podziemnych. W przypadku posadowienia obiektu powyżej zwierciadła wód podziemnych, dopływy do wykopów mogą występować jedynie poprzez opady atmosferyczne oraz spływ powierzchniowy.

Wykopy fundamentowe należy zabezpieczyć przed występowaniem dopływów z opadów atmosferycznych oraz spływów powierzchniowych. W zależności od wielkości wykopów, jednostkową wielkość dopływów określa się na podstawie występowania deszczu nawalnego z intensywnością 180 dm<sup>3</sup>/s·ha i czasie trwania 15 minut.

## 6 Wykorzystane materiały

- 1) Dąbska A., Gołębiowska A., Podstawy Geotechniki – zadania według Eurokodu 7”, Oficyna wyd. Politechniki Warszawskiej, Warszawa 2019r.,
- 2) Glazer Z., Mechanika gruntów, wyd. geologiczne, Warszawa 1976 r.,
- 3) Judycki J., i inni „Katalog typowych konstrukcji nawierzchni podatnych i półsztywnych”, Katedra Inżynierii Drogowej Politechniki Gdańskiej, Gdańsk 2012
- 4) Kłosiński B., i in. „Instrukcja Badań Podłoża Gruntowego Budowli Drogowych i Mostowych – część 1 i 2” Generalna Dyrekcja Dróg Publicznych, Warszawa 1998 r.,
- 5) Kondracki J., „Geografia Polski - mezoregiony fizyczno - geograficzne”, Warszawa 1994.
- 6) Kostrzewski W., „Parametry geotechniczne gruntów budowlanych oraz metody ich oznaczania”, Poznań 1998
- 7) Materiały otrzymane od zlecniodawcy.
- 8) Pazdro Z., „Hydrogeologia Ogólna” Wydawnictwa Geologiczne, Warszawa 1983 r.
- 9) Polskie normy
- 10) Winnicki J., „Szczegółowa Mapa Geologiczna Polski w skali 1:50 000 arkusz 727 Trzebnica wraz z objaśnieniami”, Instytut Geologiczny, Warszawa 1985r.,
- 11) Wiłun, Z., „Zarys geotechniki” Warszawa 1987 r.
- 12) „Wytyczne wydzielania warstw geotechnicznych” – „Geoprojekt”, Warszawa – 1987 r
- 13) Wysokiński L. i in., „Projektowanie geotechniczne według Eurokodu 7, Instytut Techniki Budowlanej, Warszawa 2011r.,

## 7 Wnioski

1. Zgodnie z rozporządzeniem Ministra Transportu, Budownictwa i Gospodarki Morskiej z dnia 25 kwietnia 2012 r. w sprawie ustalenia geotechnicznych warunków posadowienia obiektów budowlanych (Dz. U. Nr 2012, poz. 463), ze względu na występowanie gruntów organicznych i nasypowych oraz słabonośnych w południowej części obiektu w podłożu posadowienia projektowanego budynku występują **złożone warunki gruntowo-wodne**. W części środkowej i północnej występują **proste warunki gruntowo-wodne**.
2. Wstępnie projektant zaliczył przedmiotowy obiekt budowlany do **I kategorii geotechnicznej**.
3. W trakcie prowadzonych prac terenowych udokumentowano obecność wody podziemnej we wszystkich wykonanych otworach na głębokości 0,94-1,30 m ppt. odpowiadającej rzędnej wysokościowej 155,36-157,26 m n.p.m. występuje ustabilizowane zwierciadło wód podziemnych. Pomiarów dokonano przy wysokich stanach wód. Woda podziemna może zalegać na stropie utworów trudno przepuszczalnych (gliny) po intensywnych opadach.
4. Teren prac nie został objęty na mapach zagrożenia powodziowego i ryzyka powodziowego, a więc leży poza obszarami szczególnego zagrożenia powodzią.
5. W podłożu gruntowym występują głównie grunty o dobrej i dostatecznej przydatności do budowy. Reprezentowane są przez różnego rodzaju gliny i podrzędne piaski. Wszystkie udokumentowane grunty spoiste są utworami wysadzinowymi wrażliwymi na zmiany wilgotności. W podłożu udokumentowano również grunty o złej i bardzo złej przydatności reprezentowane przez namuły gliniaste, grunty w stanie plastycznym i luźnym oraz grunty antropogeniczne.
6. W podłożu gruntowym występują grunty:
  - **Ila**, - należące do grupy nośności G1 (warunku wodne i wysadzinowość),
  - **Ib, IIb** - należące do grupy nośności G1-G2 (warunku wodne i wysadzinowość),
  - **IIc** - należące do grupy nośności G3 (warunku wodne i wysadzinowość),
  - **A1, A2a, A2b, B2a, B2b, B3** - należące do grupy nośności G4 (warunki wodne i wysadzinowość),
7. Przed rozpoczęciem robót fundamentowych należy całkowicie usunąć wierzchnią warstwę gleby, namulów gliniastych i nasypów niekontrolowanych, gdyż ze względu na wysoką zawartość części organicznych oraz niekontrolowany charakter nie może ona stanowić podłoża budowlanego.
8. Przedstawiony model budowy geologicznej na przekrojach geotechnicznych może odbiegać od stanu rzeczywistego. Jest on wizualizacją interpolacji warstw pomiędzy wykonanymi otworami geotechnicznymi.
9. Głębokość przemarzania gruntu  $h_z$  na przedmiotowym terenie zgodnie z normą PN-B-03020:1981 wynosi 0,80m.
10. Podane wartości parametru  $I_D$ ,  $I_L$  i  $I_C$  charakteryzujące stan podłoża są wartościami uśrednionymi dla danej wydzielonej warstwy geotechnicznej.
11. Przedstawione wartości parametrów geotechnicznych są wartościami charakterystycznymi i obliczeniowymi.
12. Roboty ziemne i fundamentowe należy prowadzić zgodnie z normą PN-B-06050:1999 lub inną normą zastępującą oraz wytycznymi zawartymi w opracowaniu ITB „Warunki techniczne wykonywania i odbioru robót budowlano-montażowych”.

# **ZAŁĄCZNIKI**



Tytuł:

Plan sytuacyjny

Temat:

Budowa kompleksu szkolno-sportowo-kulturalnego wraz z zagospodarowaniem terenu przy ul. Szkolnej w miejscowości Wisznia Mała

Objaśnienia znaków:

- lokalizacja wierceń geotechnicznych do 2,0 m ppt

- lokalizacja wierceń geotechnicznych do 4,0 m ppt

- badania zagęszczenia gruntów niespoistych sondą DPL

- linie przekrojów geotechnicznych

Opracował:

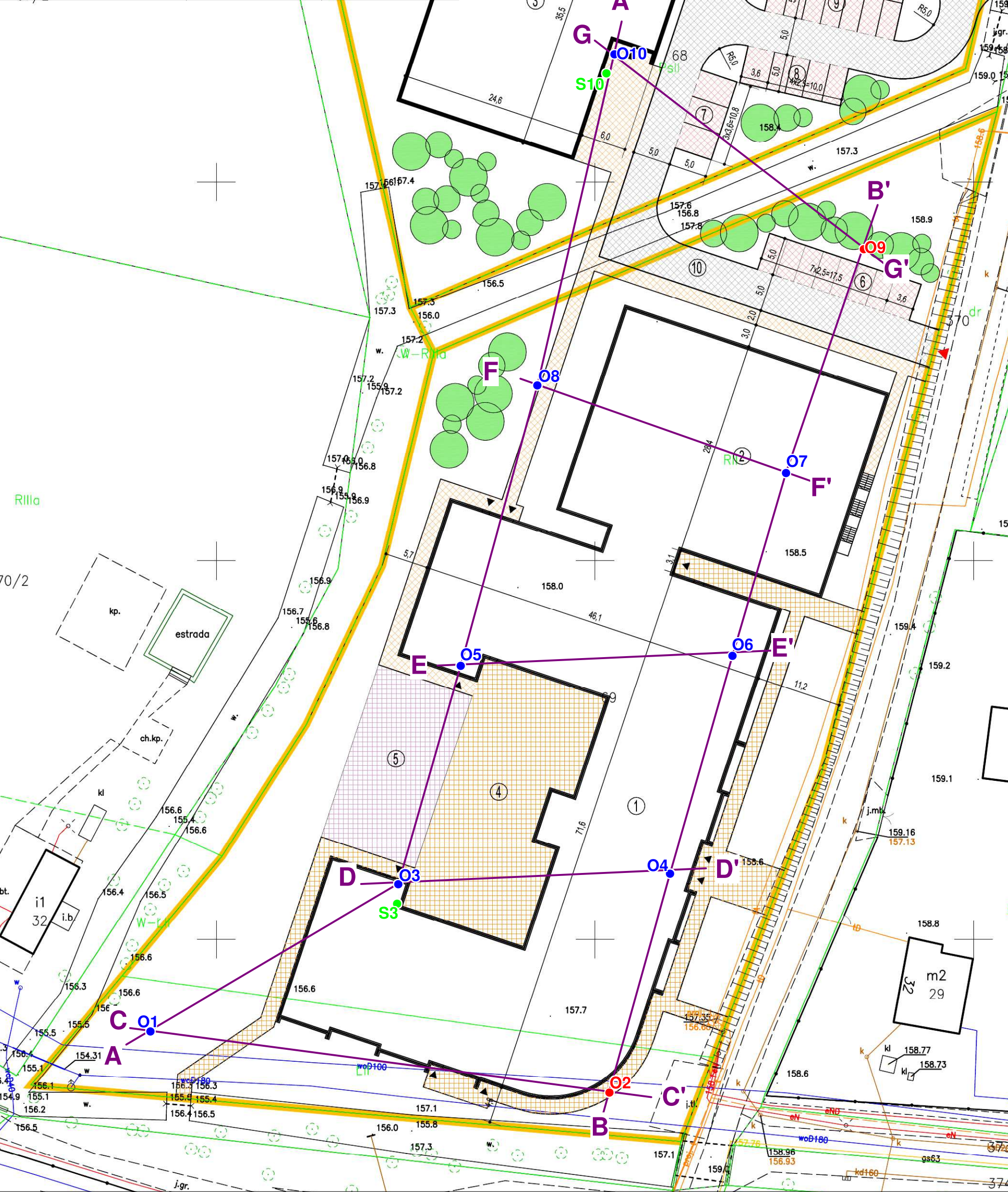
mgr inż. M. Kamiński

Skala:

1:500

Załącznik nr:

1





Rejon: dz. 69

Miejscowość: Wisznia Mała

Gmina: Wisznia Mała (gmina wiejska)

Powiat: trzebnicki

Województwo: dolnośląskie

Obiekt: kompleks szkolny

Inwestor: Gmina Wisznia Mała

Zleceńodawca: ABK-Projekt

Wiercenie: GEOMINER Michał Kamiński

Dozór geol.: mgr inż. Michał Kamiński

System wiercenia: ręczny, okrężny

Rzędna: 156.50 m n.p.m. Głębokość: 4.00 m

Skala 1 : 50

Data wiercenia: 2020-10-16

Głębokość zwiędnięcia wody [m p.p.t]	Stratygrafia	Skala [m]	Profil	Przebieg [m]	Opis Litologiczny	Symbol gruntu	SYMBOL_ISO	Wilgotność	Stan gruntu	CaCO3	Ilość wałeczków	penetrator [kg/cm2]	IL	IC	ID	Warstwa geotechniczna
1	2	3	4	5	6	7	8	9	10	11	12	13	14	15	16	17
				0.20	nasyp niekontrolowany (gruz, gleba), czarny namuł gliniasty, ciemnoszary	nN	Mg	w								NN
						Nmg	siOr	mw	tpl	-	0x1	3,25	0.04	0.96		OR2
				1.80	Piasek średni, ze żwirem i kamieniami, żółty	Ps+Ż+K	OcogrSa	nw	szg			-			0.50	Ilb
				2.00	głina, szaro-żółta						1x1	2	0.10	0.90		B2a
				2.60	głina, szaro-żółta	G	sasiCl				+	1x2	1,5	0.15	0.85	B2b
				3.40	głina zwęzła, szaro-brązowa	Gz	siCl				++	0x1	3,25	0.05	0.95	B2a

**otwór numer O2 Rzędna: 158.20 m n.p.m. X:5680680.00 Y:6433702.00 Data: 2020-10-16**

				0.20	nasyp niekontrolowany (głina, pylasta, gruz, gleba), czarny piasek pylasty na pograniczu piasku drobnego, jasnobrązowo-szary	nN	Mg	w								NN
				0.60	piasek pylasty na pograniczu piasku drobnego, żółty	Pπ/Pd	FSa/siSa		szg						0.37	lb
				0.90	piasek pylasty na pograniczu piasku drobnego, żółty	Gπ	clSi	mw	tpl		1x2		0.15	0.85		B2b
				1.10	głina pylasta, brązowo-żółta	G+KO	cosasiCl				3x4		0.40	0.60		B3
				1.50	głina, żółto-brązowa z domieszką otoczków	G	sasiCl	w	pl		2x3	1	0.30	0.70		B3
				1.90	głina, szaro-brązowa			mw	tpl		1x1	1,6	0.15	0.85		B2b



Rejon: dz. 69

Miejscowość: Wisznia Mała

Gmina: Wisznia Mała (gmina wiejska)

Powiat: trzebnicki

Województwo: dolnośląskie

Obiekt: kompleks szkolny

Inwestor: Gmina Wisznia Mała

Zleceniodawca: ABK-Projekt

Wiercenie: GEOMINER Michał Kamiński

Dozór geol.: mgr inż. Michał Kamiński

System wiercenia: ręczny, okrężny

Rzędna: 157.30 m n.p.m. Głębokość: 4.00 m

Skala 1 : 50

Data wiercenia: 2020-10-17

Głębokość zwiędnięcia wody [m p.p.t]	Stratygrafia	Skala [m]	Profil	Przelot [m]	Opis Litologiczny	Symbol gruntu	SYMBOL_ISO	Wilgotność	Stan gruntu	CaCO3	Ilość wałeczkowań	penetrator [kg/cm2]	IL	IC	ID	Warstwa geotechniczna
1	2	3	4	5	6	7	8	9	10	11	12	13	14	15	16	17
	Holocen				gleba	Gb	Or	w								
				0.30	głina, brązowa						0x1	2,75	0.05	0.95		B2a
		1.0		0.80	głina, brązowa			mw	tpl		1x2	1,65	0.15	0.85		B2b
				1.30	głina, brązowa			w	pl		2x3	0,9	0.30	0.70		B3
		2.0		1.80	głina, szaro-brązowa	G	sasiCl			-		2,15				
				2.80	głina, brązowa			mw	tpl		1x1		0.10	0.90		B2a
		3.0									2					
				3.50	głina, ciemnoszara					+	0x1	2,75	0.05	0.95		A2a
		4.0		4.00												

**otwór numer O6 Rzędna: 158.50 m n.p.m. X:5680738.00 Y:6433718.00 Data: 2020-10-16**

	Holocen				gleba	Gb	Or	w								
				0.40	głina, brązowa	G	sasiCl	mw	tpl		1x2	-	0.10	0.90		B2a
		1.0		1.10	głina, brązowa przewarstwiona piaskiem średnim	G//Ps	sasiClmsa	w	pl	-	2x3	1	0.30	0.70		B3
				1.70	piasek średni, brązowy	Ps	MSa	nw	szg			-			0.50	Ilb
		2.0		2.10	głina, szaro-brązowa	G	sasiCl	mw	tpl	+	1x2	1,5	0.15	0.85		B2b
				2.50	głina, brązowa przewarstwiona piaskiem średnim	G//Ps	sasiClmsa	w	pl	-	2x3		0.30	0.70		B3
		3.0		3.10	głina piaszczysta, brązowa na pograniczu gliny	Gp/G	sisaCl	mw	tpl	+	1x2		0.15	0.85		B2b
		4.0		4.00												



Rejon: dz. 69

Miejscowość: Wisznia Mała

Gmina: Wisznia Mała (gmina wiejska)

Powiat: trzebnicki

Województwo: dolnośląskie

Obiekt: kompleks szkolny

Inwestor: Gmina Wisznia Mała

Zleceńodawca: ABK-Projekt

Wiercenie: GEOMINER Michał Kamiński

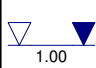

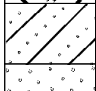
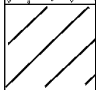




Dozór geol.: mgr inż. Michał Kamiński

System wiercenia: ręczny, okrężny


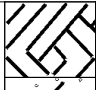
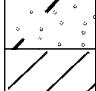



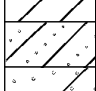
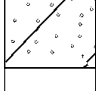
Rzędna: 158.60 m n.p.m. Głębokość: 4.00 m

Skala 1 : 50

Data wiercenia: 2020-10-16

Głębokość z wierciadła wody [m p.p.t]	Stratygrafia	Skala [m]	Profil	Przelot [m]	Opis Litologiczny	Symbol gruntu	SYMBOL_ISO	Wilgotność	Stan gruntu	CaCO3	Ilość wałeczków	penetrator [kg/cm2]	IL	IC	ID	Warstwa geotechniczna
1	2	3	4	5	6	7	8	9	10	11	12	13	14	15	16	17
	Holocen				gleba	Gb	Or	w								
	Czwartorzęd Plejstocen	1.0		0.50	głina piaszczysta, brązowa	Gp	clSa	mw	tpl		2x2	-	0.25	0.75		B2b
				0.90	piasek średni, brązowy	Ps	MSa	m	szg						0.50	Ilb
				1.10	głina, szaro-brązowa na pograniczu gliny piaszczystej	G/Gp	sisacI				1x2	1,5	0.24	0.76		B2b
		2.0		1.90	głina, brązowa						1x1	2,75	0.10	0.90		B2a
		3.0		3.00	głina, ciemnoszaro-brązowa	G	sasiCl				0x1	3,25	0.05	0.95		A2a
		4.0		3.50	głina, ciemnoszara				pzw	+	0x0	4	0.00	1.00		A1
		4.0		4.00												

**otwór numer O8 Rzędna: 157.30 m n.p.m. X:5680773.00 Y:6433692.00 Data: 2020-10-17**

	Holocen				gleba	Gb	Or	w								
	Czwartorzęd Plejstocen	1.0		0.50	piasek zagliniony, brązowy	Pg	clSa		szg						0.50	Ilb
				0.90	głina, szaro-brązowa	G	sasiCl				1x2	1,5	0.15	0.85		B2b
		2.0		2.40	głina, brązowa przewarstwiona piaskiem średnim	G//Ps	sasiClmsa	mw	tpl		1x1	2	0.10	0.90		B2a
		3.0		2.90	głina, brązowa	G	sasiCl									
				3.10	głina piaszczysta, ciemnoszara	Gp	clSa									
		4.0		3.40	piasek gliniasty, brązowy przewarstwiony gliną	Pg//G	clSasasicl				0x1	-	0.15	0.85		A2b
		4.0		4.00												

Rejon: dz. 68

Miejscowość: Wisznia Mała

Gmina: Wisznia Mała (gmina wiejska)

Powiat: trzebnicki

Województwo: dolnośląskie

Obiekt: kompleks szkolny

Inwestor: Gmina Wisznia Mała

Zleceńodawca: ABK-Projekt

Wiercenie: GEOMINER Michał Kamiński

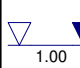


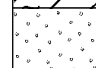
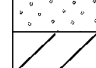
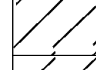


Dozór geol.: mgr inż. Michał Kamiński

System wiercenia: ręczny, okrężny

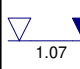
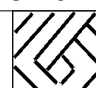



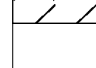
Rzędna: 157.80 m n.p.m. Głębokość: 4.00 m

Skala 1 : 50

Data wiercenia: 2020-10-16

Głębokość zwiędziadła wody [m p.p.t.]	Stratygrafia	Skala [m]	Profil	Przelot [m]	Opis Litologiczny	Symbol gruntu	SYMBOL_ISO	Wilgotność	Stan gruntu	CaCO3	Ilość wałczkowań	penetrometr [kg/cm2]	IL	IC	ID	Warstwa geotechniczna
1	2	3	4	5	6	7	8	9	10	11	12	13	14	15	16	17
 1.00	Czwartorzęd Plejstocen	1.0			gleba	Gb	Or	w								
				0.40	głina, brązowa	G	sasiCl		pl		2x3	1	0.30	0.70		B3
				0.60	głina pylasta, szaro-brązowa	Gπ	clSi	mw	tpl		0x1	2,5	0.05	0.95		B2a
				0.90	piasek średni, brązowo-żółty	Ps	MSa	nw	zg	-		-			0.70	Ila
				1.50	głina, szaro-brązowa	G	sasiCl	w			1x2	2	0.15	0.85		B2b
				2.10	głina, ciemnoszara				tpl		0x1	3,25	0.04	0.96		A2a
				3.00	głina, ciemnoszara			mw		+						
								pzw			0x0	4	0.00	1.00		A1
		4.0		4.00												

**otwór numer O9 Rzędna: 158.60 m n.p.m. X:5680791.00 Y:6433736.00 Data: 2020-10-16**

 1.07	Czwartorzęd Holocen Plejstocen	1.0			gleba	Gb	Or	w								
				0.80	piasek pylasty szaro-żółty	Pπ	siSa									lb
				1.10	piasek średni + kamienie, żółty	Ps	coMSa	nw	szg			-				llb
				1.30	głina, szaro-brązowa	G	sasiCl	mw	tpl		1x1	2,2	0.08	0.92		B2a
		2.0		2.00												

# OBJASNIENIA SYMBOLI I ZNAKÓW UŻYTYCH W PRZEKROJACH

Symbolle geotechniczne wybranych gruntów wg normy PN - 86/B - 02480

## GRUNTY NASYPOWE

nB	nasyp budowlany	C - gruz ceglany	+ domieszki
nN	nasyp niekontrolowany	B - gruz betonowy	// przewarswienia
		żł - żużel	/ na pograniczu

## GRUNTY ORGANICZNE RODZIME

H	grunt próchniczny	$2\% < I_{om} < 5\%$	4	numer otworu
Nm	namuł	$5\% < I_{om} < 30\%$	52,7	rzędna otworu
T	torf	$30\% < I_{om}$		

## GRUNTY MINERALNE RODZIME

KO, K	otoczaki, kamienie	kamieniste
Ż	żwir	grubozia- niste
Żg	żwir gliniasty	
Po	pospółka	
Pog	pospółka gliniasta	
Pr	piasek gruby	drobnoziar- niste
Ps	piasek średni	
Pd	piasek drobny	
Pπ	piasek pylisty	
Pg	piasek gliniasty	drobnoziarniste, spoisłe
Πp	pył piaszczysty	
Π	pył	
Gp	glina piaszczysta	
G	glina	
Gπ	glina pylasta	
Gpz	glina piaszczysta zwięzła	
Gπz	glina pylasta zwięzła	
Ip	ił piaszczysty	
I	ił	
Iπ	ił pylasty	

## OZNACZENIE WODY W OTWORZE

----	wyinterpretowany max poziom wody gruntowej
▼ 2,5	ustabilizowany poziom wody gr. [m ppt]
4,5	nawiercony poziom wody gr. [m ppt]

## OZNACZENIA STANU GRUNTY

$I_D = 0,5$	stopień zagęszczenia
$I_L = 0,2$	stopień plastyczności

## INNE OZNACZENIA

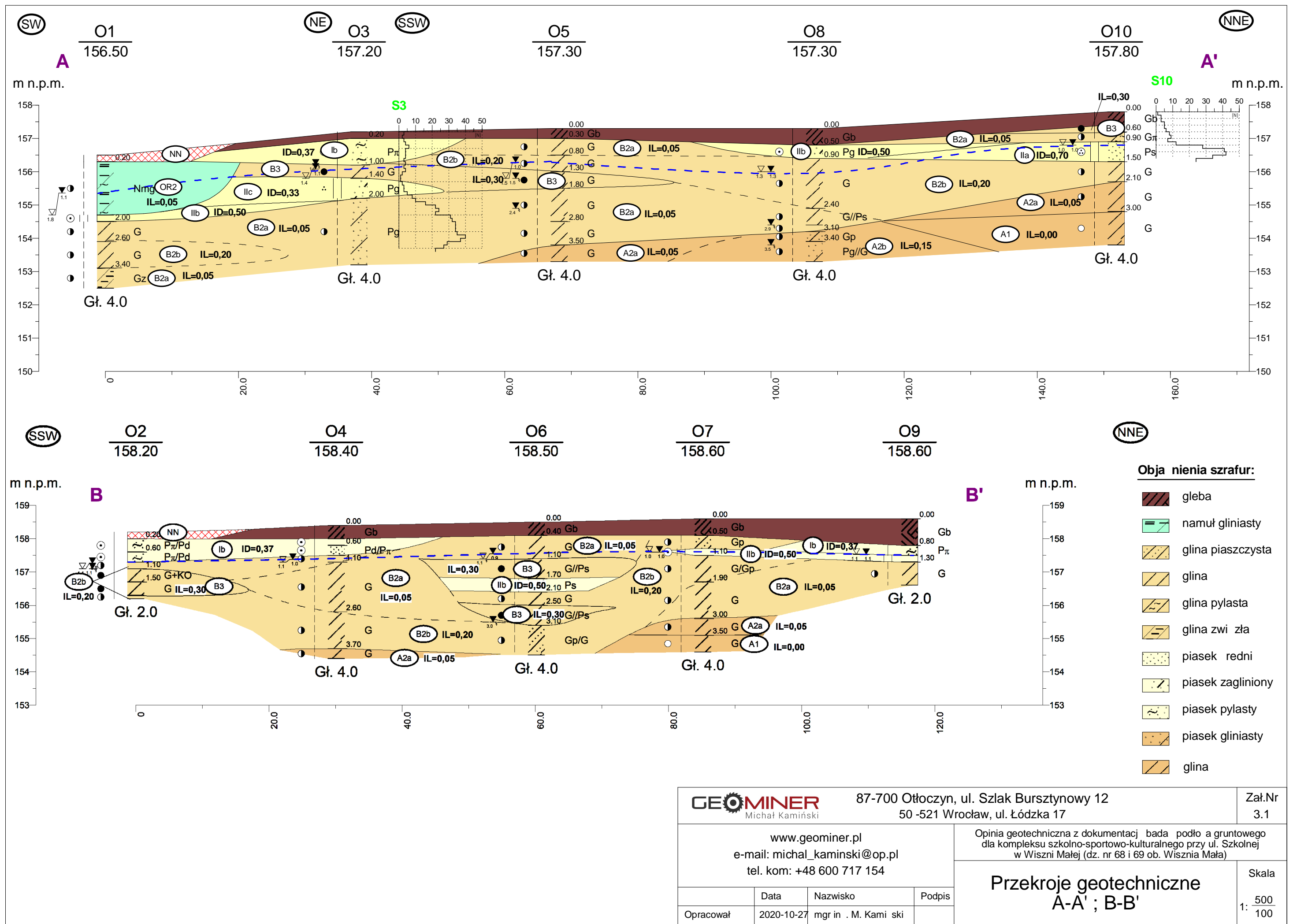
II	nr warstwy geotechnicznej
—	podstawowe granice litologiczno - geotechniczne
N - S	kierunek linii przekroju geotechnicznego

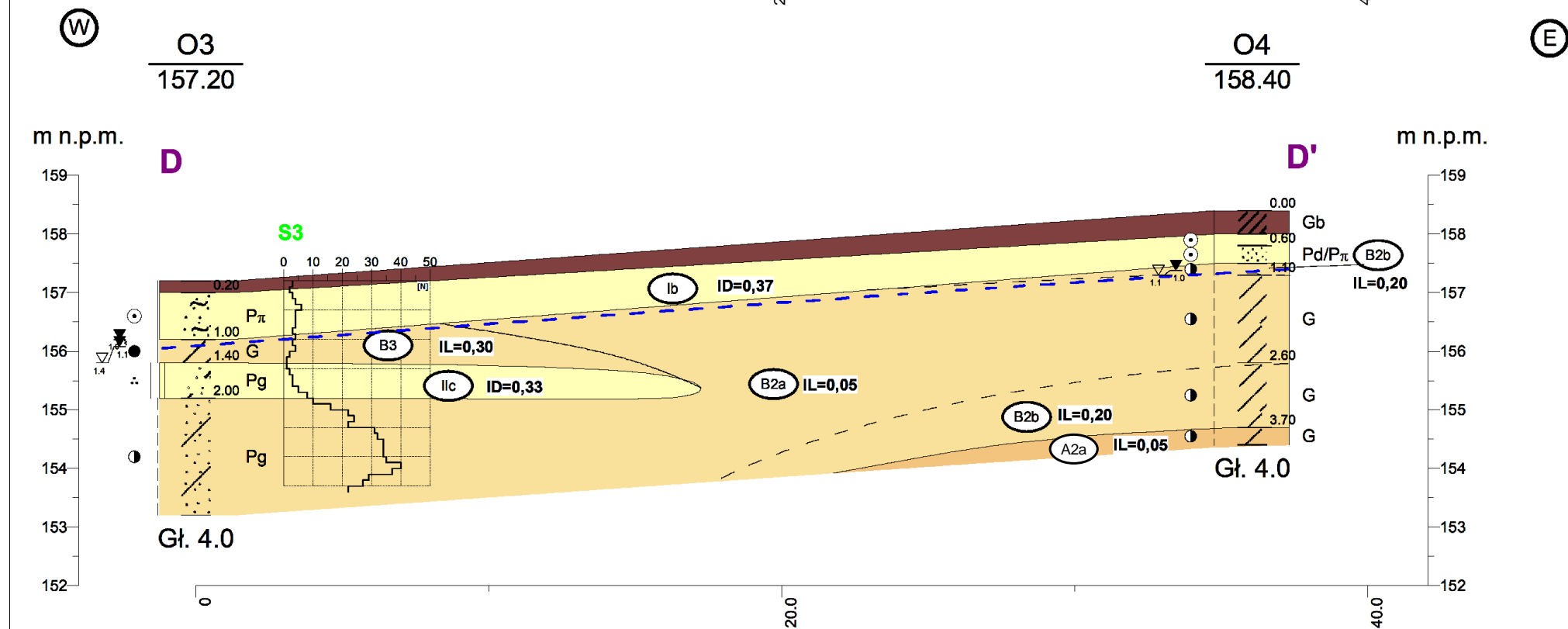
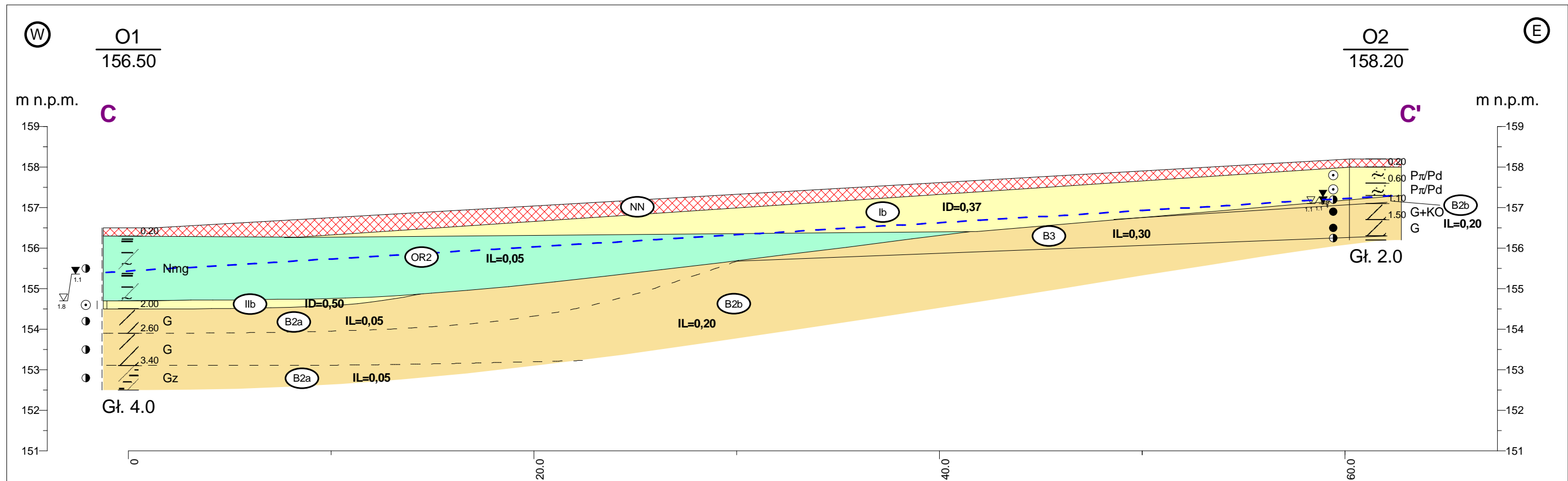
## STAN GRUNTU

lzn	luźne
szg	średnio zagęszczone
zg	zagięte

## GRUNTY NIEOBJĘTE NORMĄ

kr	kreda	młode osady		
gy	gytja	jeziorne	mpl	miękkoplastyczne
cb	węgiel brunatny		pl	plastyczne
Gb	gleba		tpl	twardoplastyczne
CaCO <sub>3</sub>	węglan wapnia			





**Obja nienia szrafur:**

- gleba
- namuł gliniasty
- glina
- glina zwi zła
- piasek gliniasty
- glina
- piasek zagliniony
- piasek drobny
- piasek pylasty

**GEO MINER**  
Michał Kamiński

87-700 Ołoczyn, ul. Szlak Bursztynowy 12  
50-521 Wrocław, ul. Łódzka 17

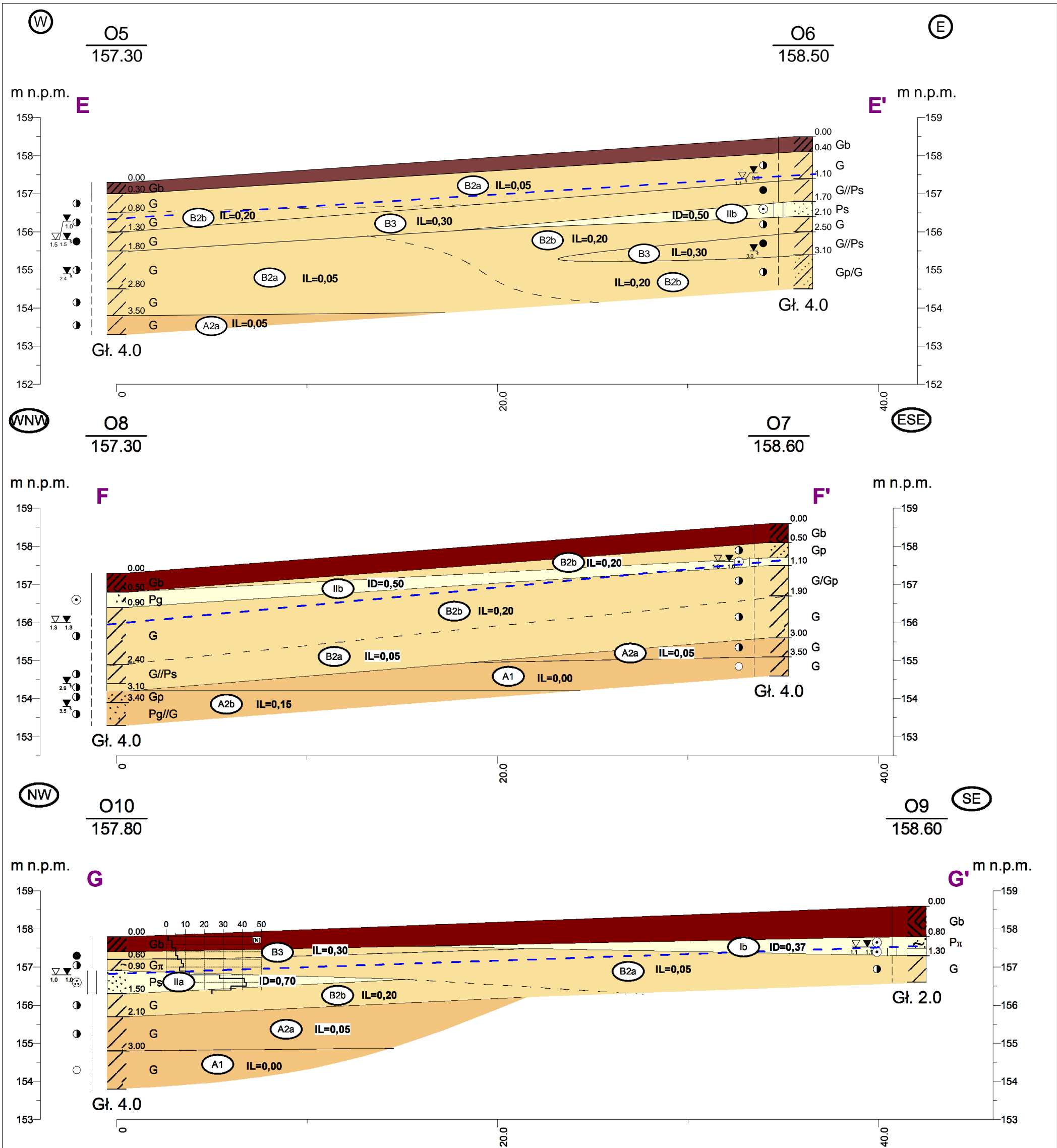
Zał.Nr  
3.2

www.geominer.pl  
e-mail: [michal\\_kaminski@op.pl](mailto:michal_kaminski@op.pl)  
tel. kom: +48 600 717 154

Opinia geotechniczna z dokumentacją badań podłoża i gruntowego  
dla kompleksu szkolno-sportowo-kulturalnego przy ul. Szkolnej  
w Wieszni Małej (dz. nr 68 i 69 ob. Wieszni Mała)

**Przekroje geotechniczne**  
**C-C' ; D-D'**

Skala  
1:  $\frac{200}{100}$



Obja nienia szrafur:

- gleba
- glina
- glina piaszczysta
- piasek gliniasty
- glina
- piasek zagliniony
- piasek redni
- piasek pylasty

<b>GEO MINER</b> Michał Kamiński				87-700 Ołoczyn, ul. Szlak Bursztynowy 12 50 -521 Wrocław, ul. Łódzka 17		Zał.Nr 3.3
www.geominer.pl e-mail: michal_kaminski@op.pl tel. kom: +48 600 717 154				Opinia geotechniczna z dokumentacją badań podłoża i gruntowego dla kompleksu szkolno-sportowo-kulturalnego przy ul. Szkolnej w Wiszni Małej (dz. nr 68 i 69 ob. Wisznia Mała)		
Przekroje geotechniczne E-E' ; F-F' ; G-G'				Skala 1: 200 100		
Opracował	Data 2020-10-27	Nazwisko mgr in . M. Kami ski	Podpis			



# WYNIKI BADAŃ SONDĄ DYNAMICZNĄ

Sondowanie numer **S3**

Zał.Nr: 4.1

Sonda Nr: 1/2018

X: 5680707.00  
Y: 6433674.00

Układ:  
GUGIK 2000 XY

Rejon: dz. 69  
Miejscowość: Wisznia Mała  
Gmina: Wisznia Mała (gmina wiejska)  
Powiat: trzebnicki  
Województwo: dolnośląskie

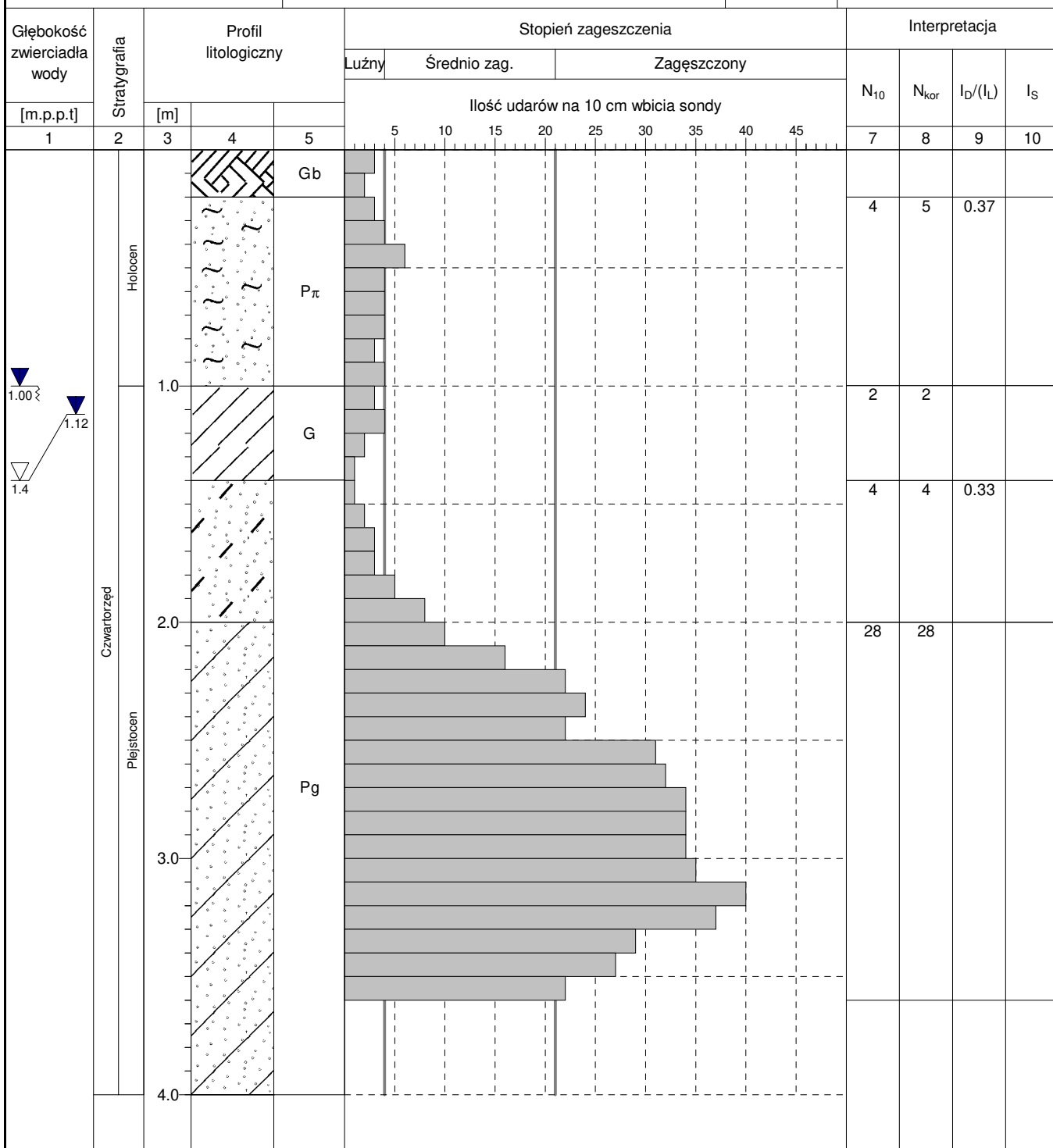
Obiekt: kompleks szkolny  
Zleceniodawca: ABK-Projekt  
Wiercenie: GEOMINER Michał Kamiński  
Nadzór geologiczny: mgr inż. Michał Kamiński

Typ sondy: DPL

Rzędna: 157.20 m n.p.m.

Skala 1 : 25

Data sondowania: 2020-10-17



Rejon: dz. 68

Miejscowość: Wisznia Mała

Gmina: Wisznia Mała (gmina wiejska)

Powiat: trzebnicki

Województwo: dolnośląskie

Obiekt: kompleks szkolny

Zleceńodawca: ABK-Projekt

Wiercenie: GEOMINER Michał Kamiński

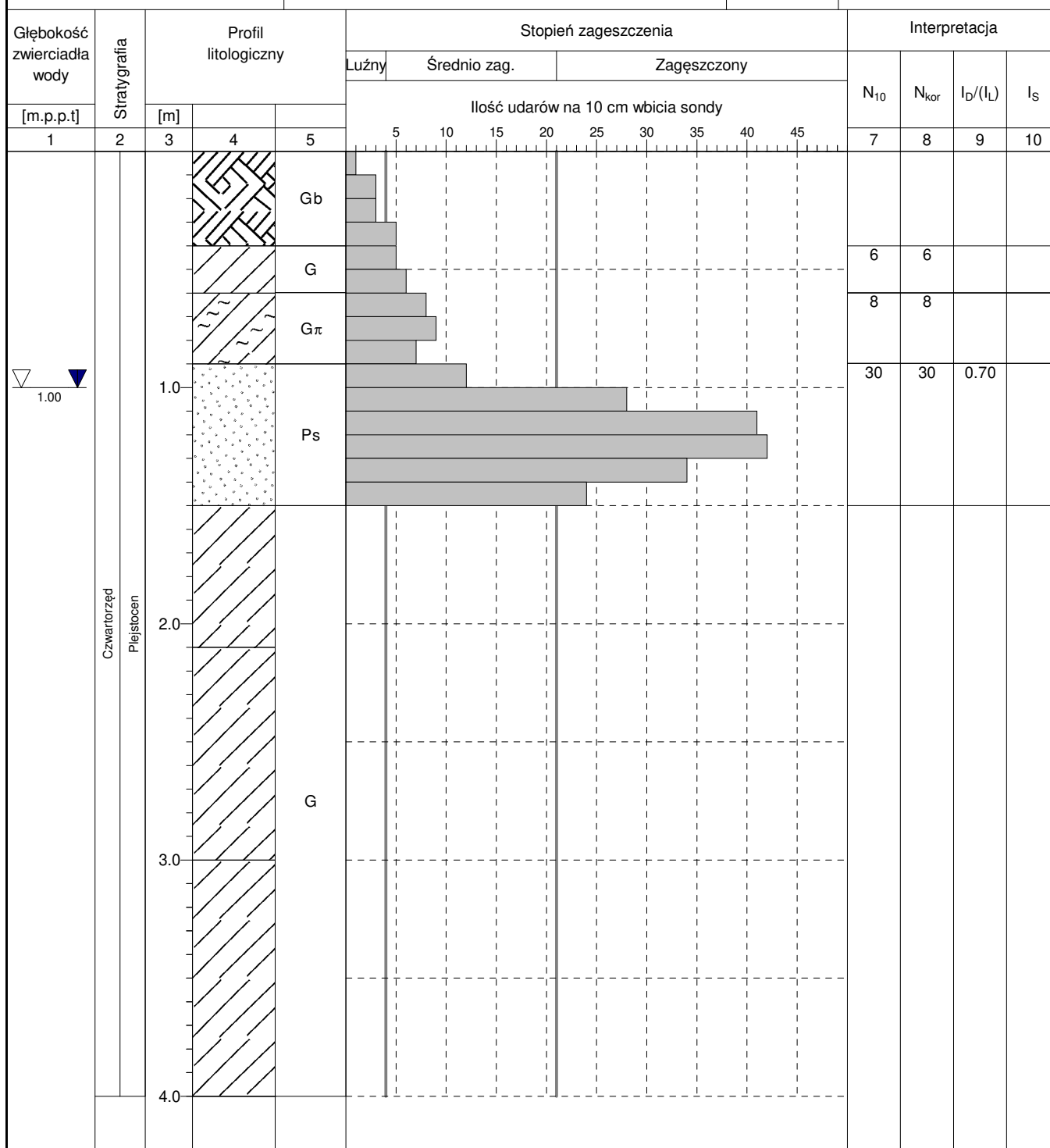
Nadzór geologiczny: mgr inż. Michał Kamiński

Typ sondy: DPL

Rzędna: 157.80 m n.p.m.

Skala 1 : 25

Data sondowania: 2020-10-17





ZESTAWIENIE WYNIKÓW BADAŃ GRUNTU Z OBIEKTU: Wiesznia Mała

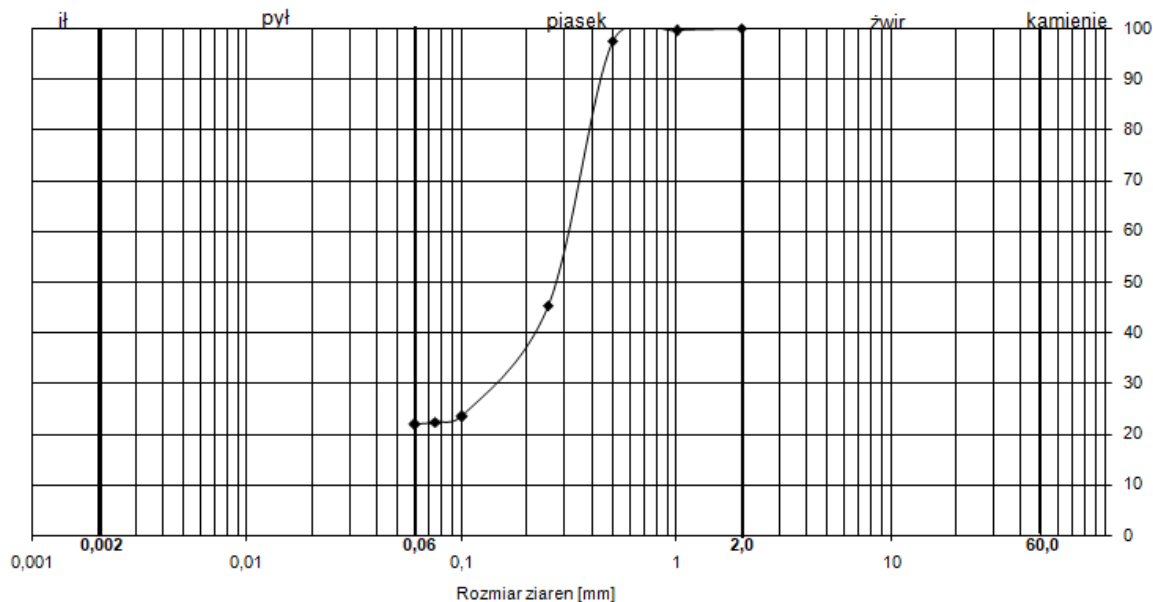
Lp.	Nr otw.	Głębokość	Nazwa gruntu	Zawartość frakcji %				Wn %	Wp %	Wl %	I <sub>L</sub>	Ip	Iom %	p [g/cm <sup>3</sup> ]	pds [g/cm <sup>3</sup> ]
				Żwir	Piasek	Pył	łł								
1	O1	1,4-1,7	namuł gliniasty					26,87	26,32	42,0	0,04	15,68	7,79	2,01	1,58
2	O3	2,0-2,4	piasek gliniasty	0,00	78,23	21,77									
3	O4	2,8-3,2	glina					16,03	12,70	27,1	0,23	14,40		2,05	1,77
4	O7	1,3-1,6	glina					19,48	16,07	30,4	0,24	14,33		2,05	1,72
5	O9	2,2-2,5	glina					16,16	15,01	29,2	0,08	14,19		2,04	1,76
6	O10	2,3-2,6	glina					14,55	14,02	28,6	0,04	14,58		2,03	1,77

BADANIA WYKONAŁ:

# Wyniki badań laboratoryjnych próbek gruntu

Temat: Wisznia Mała

Nr otworu: O3 głębokość: 2,0-2,4 m nazwa gruntu: piasek gliniasty



Temat: Wisznia Mała							
Nazwa gruntu: namuł gliniasty				Nr otworu	O1		
				Głębokość	1,4-1,7 m		
Wyniki			Wilgotność				
Wn= 26,87% Iom= 7,79%.	Nr par.	m <sub>mt</sub>	55,57	m <sub>st</sub>	45,47	26,87%	
		m <sub>st</sub>	45,47	m <sub>t</sub>	7,67		
		W=	10,10	:	37,80	26,72%	
		Nr par.	m <sub>mt</sub>	52,86	m <sub>st</sub>	43,24	
			m <sub>st</sub>	43,24	m <sub>t</sub>	7,63	
	W=	9,62	:	35,61	27,01%		
Oznaczanie strat przy prażeniu							
Nacz. Nr	m <sub>mt</sub>	39,83	m <sub>mt</sub>	39,83			
	m <sub>st</sub>	39,39	m <sub>t</sub>	34,05			
	Lp=	0,44	:	5,78	7,61%		
Nacz. Nr	m <sub>mt</sub>	39,83	m <sub>mt</sub>	39,83			
	m <sub>st</sub>	39,38	m <sub>t</sub>	34,05			
	Lp=	0,45	:	5,78	7,79%		

BADANIA WYKONAŁ:

# Wyniki badań laboratoryjnych próbek gruntu

## Badanie granic konsystencji

**Temat: Wisznia Mała**

Nazwa gruntu: namuł gliniasty

Nr otworu O1

Głębokość 1,4-1,7 m

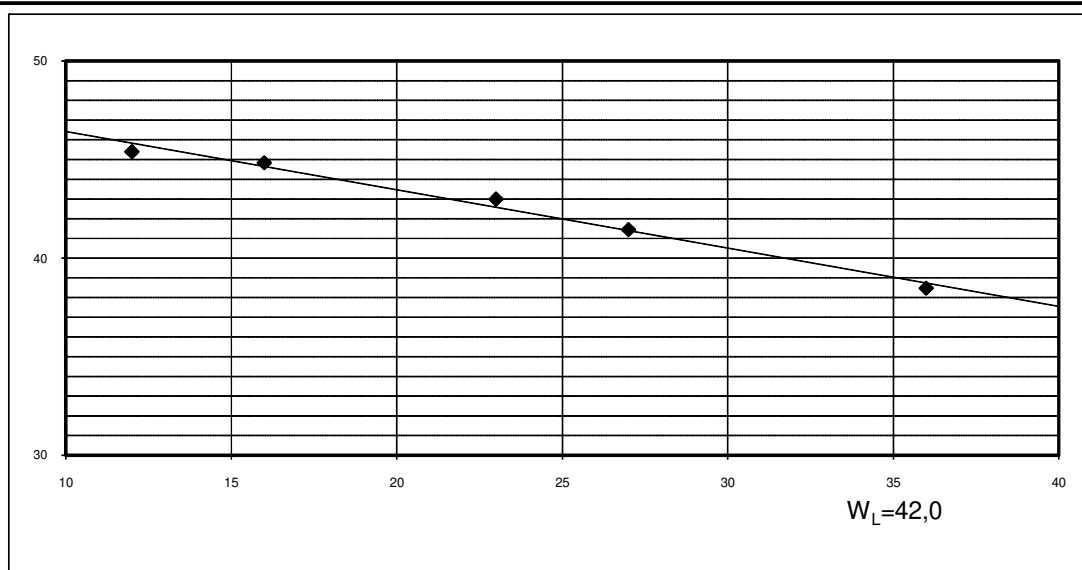
Wyniki	Wilgotność					
W <sub>n</sub> = 26,87 W <sub>p</sub> = 26,32 W <sub>L</sub> = 42,0	Nr par.	m <sub>mt</sub>	55,57	m <sub>st</sub>	45,47	26,87%
I <sub>L</sub> =(W <sub>n</sub> -W <sub>p</sub> ):(W <sub>L</sub> -W <sub>p</sub> )= 0,04		m <sub>st</sub>	45,47	m <sub>t</sub>	7,67	
I <sub>p</sub> =W <sub>L</sub> -W <sub>p</sub> = 15,68		W=	10,10	:	37,80	26,72%
stan: tpi	Nr par.	m <sub>mt</sub>	52,86	m <sub>st</sub>	43,24	
spistość: średnio spoisty		m <sub>st</sub>	43,24	m <sub>t</sub>	7,63	
		W=	9,62	:	35,61	27,01%

### Granica plastyczności

Nacz. Nr	m <sub>mt</sub>	12,94	m <sub>st</sub>	11,69		
	m <sub>st</sub>	11,69	m <sub>t</sub>	6,94		
	L <sub>p</sub> =	1,25	:	4,75		26,32%
Nacz. Nr	m <sub>mt</sub>		m <sub>st</sub>	0		
	m <sub>st</sub>		m <sub>t</sub>			
	L <sub>p</sub> =	0	:	0		

### Granica płynności

Nacz.Nr	m <sub>mt</sub>	35,72	m <sub>st</sub>	27,69		
	m <sub>st</sub>	27,69	m <sub>t</sub>	6,82		
ilość uderzeń: 36	W=	8,03	:	20,87		38,48%
Nacz.Nr	m <sub>mt</sub>	36,54	m <sub>st</sub>	28,21		
	m <sub>st</sub>	28,21	m <sub>t</sub>	8,12		
ilość uderzeń: 27	W=	8,33	:	20,09		41,46%
Nacz.Nr	m <sub>mt</sub>	35,89	m <sub>st</sub>	27,41		
	m <sub>st</sub>	27,41	m <sub>t</sub>	7,69		
ilość uderzeń: 23	W=	8,48	:	19,72		43,00%
Nacz.Nr	m <sub>mt</sub>	36,12	m <sub>st</sub>	27,15		
	m <sub>st</sub>	27,15	m <sub>t</sub>	7,15		
ilość uderzeń: 16	W=	8,97	:	20		44,85%
Nacz.Nr	m <sub>mt</sub>	37,39	m <sub>st</sub>	27,84		
	m <sub>st</sub>	27,84	m <sub>t</sub>	6,81		
ilość uderzeń: 12	W=	9,55	:	21,03		45,41%



Badanie wykonał:

# Wyniki badań laboratoryjnych próbek gruntu

## Badanie granic konsystencji

**Temat:** Wisznia Mała

Nazwa gruntu: glina

Nr otworu O4

Głębokość 2,8-3,1 m

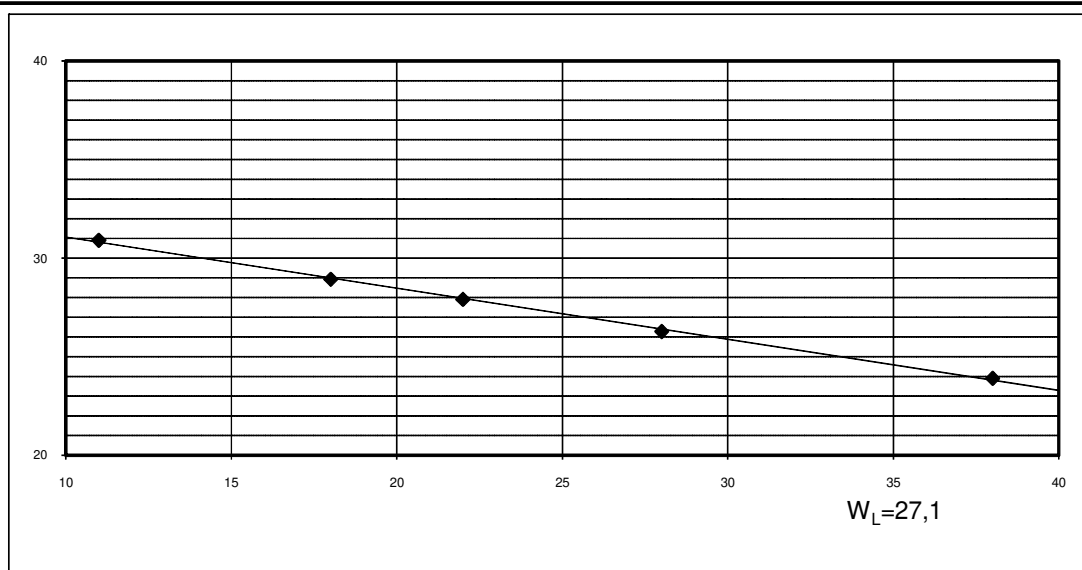
Wyniki	Wilgotność					
W <sub>n</sub> = 16,03   W <sub>p</sub> = 12,70   W <sub>L</sub> = 27,1	Nr par.	m <sub>mt</sub>	52,37	m <sub>st</sub>	46,20	16,03%
I <sub>L</sub> =(W <sub>n</sub> -W <sub>p</sub> ):(W <sub>L</sub> -W <sub>p</sub> )= 0,23		m <sub>st</sub>	46,20	m <sub>t</sub>	7,63	
I <sub>p</sub> =W <sub>L</sub> -W <sub>p</sub> = 14,40		W=	6,17	:	38,57	16,00%
stan:            tpi	Nr par.	m <sub>mt</sub>	54,24	m <sub>st</sub>	47,79	
spistość:      średnio spoisty		m <sub>st</sub>	47,79	m <sub>t</sub>	7,65	
		W=	6,45	:	40,14	16,07%

### Granica plastyczności

Nacz. Nr	m <sub>mt</sub>	13,07	m <sub>st</sub>	12,43		
	m <sub>st</sub>	12,43	m <sub>t</sub>	7,39		
	L <sub>p</sub> =	0,64	:	5,04		12,70%
Nacz. Nr	m <sub>mt</sub>		m <sub>st</sub>	0		
	m <sub>st</sub>		m <sub>t</sub>			
	L <sub>p</sub> =	0	:	0		

### Granica płynności

Nacz.Nr	m <sub>mt</sub>	37,87	m <sub>st</sub>	31,92		
	m <sub>st</sub>	31,92	m <sub>t</sub>	7,03		
ilość uderzeń: 38	W=	5,95	:	24,89		23,91%
Nacz.Nr	m <sub>mt</sub>	35,13	m <sub>st</sub>	29,39		
	m <sub>st</sub>	29,39	m <sub>t</sub>	7,55		
ilość uderzeń: 28	W=	5,74	:	21,84		26,28%
Nacz.Nr	m <sub>mt</sub>	36,78	m <sub>st</sub>	30,25		
	m <sub>st</sub>	30,25	m <sub>t</sub>	6,86		
ilość uderzeń: 22	W=	6,53	:	23,39		27,92%
Nacz.Nr	m <sub>mt</sub>	37,86	m <sub>st</sub>	31,01		
	m <sub>st</sub>	31,01	m <sub>t</sub>	7,33		
ilość uderzeń: 18	W=	6,85	:	23,68		28,93%
Nacz.Nr	m <sub>mt</sub>	35,71	m <sub>st</sub>	28,98		
	m <sub>st</sub>	28,98	m <sub>t</sub>	7,21		
ilość uderzeń: 11	W=	6,73	:	21,77		30,91%



Badanie wykonał:

# Wyniki badań laboratoryjnych próbek gruntu

## Badanie granic konsystencji

**Temat:** Wisznia Mała

Nazwa gruntu: glina

Nr otworu O7

Głębokość 1,3-1,6 m

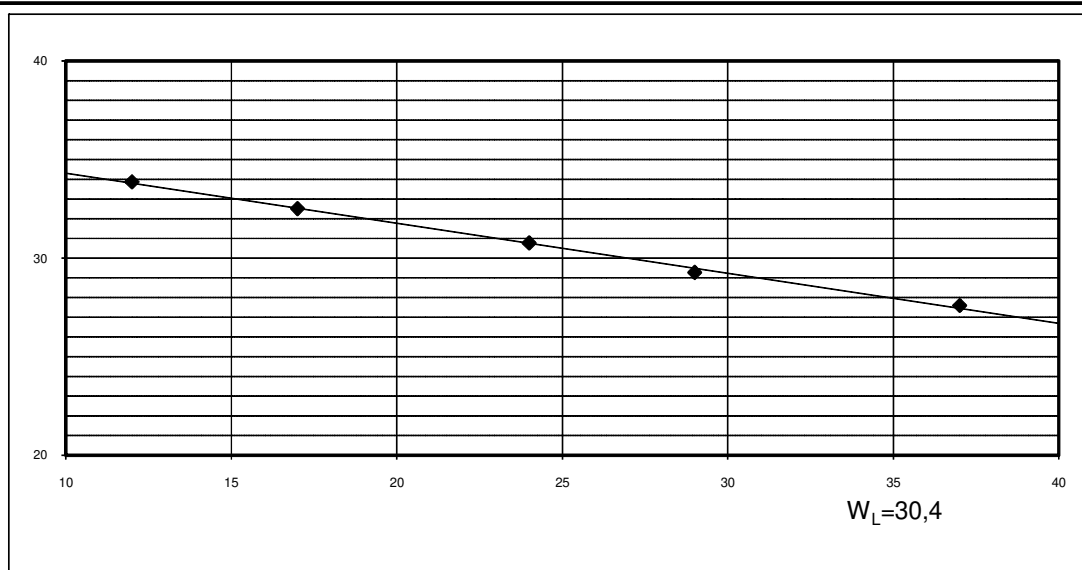
Wyniki	Wilgotność					
W <sub>n</sub> = 19,48    W <sub>p</sub> = 16,07    W <sub>L</sub> = 30,4	Nr par.	m <sub>mt</sub>	66,45	m <sub>st</sub>	56,94	19,48%
I <sub>L</sub> =(W <sub>n</sub> -W <sub>p</sub> ):(W <sub>L</sub> -W <sub>p</sub> )= 0,24		m <sub>st</sub>	56,94	m <sub>t</sub>	7,86	
I <sub>p</sub> =W <sub>L</sub> -W <sub>p</sub> = 14,33		W=	9,51	:	49,08	19,38%
stan:            tpi	Nr par.	m <sub>mt</sub>	61,40	m <sub>st</sub>	52,51	
spistość:      średnio spoisty		m <sub>st</sub>	52,51	m <sub>t</sub>	7,11	
		W=	8,89	:	45,4	19,58%

### Granica plastyczności

Nacz. Nr	m <sub>mt</sub>	13,05	m <sub>st</sub>	12,29		
	m <sub>st</sub>	12,29	m <sub>t</sub>	7,56		
Lp=	0,76	:	4,73			16,07%
Nacz. Nr	m <sub>mt</sub>		m <sub>st</sub>	0		
	m <sub>st</sub>		m <sub>t</sub>			
Lp=	0	:	0			

### Granica płynności

Nacz.Nr	m <sub>mt</sub>	35,47	m <sub>st</sub>	29,21		
	m <sub>st</sub>	29,21	m <sub>t</sub>	6,53		
ilość uderzeń: 37	W=	6,26	:	22,68		27,60%
Nacz.Nr	m <sub>mt</sub>	32,47	m <sub>st</sub>	27,21		
	m <sub>st</sub>	27,21	m <sub>t</sub>	9,24		
ilość uderzeń: 29	W=	5,26	:	17,97		29,27%
Nacz.Nr	m <sub>mt</sub>	34,86	m <sub>st</sub>	28,57		
	m <sub>st</sub>	28,57	m <sub>t</sub>	8,13		
ilość uderzeń: 24	W=	6,29	:	20,44		30,77%
Nacz.Nr	m <sub>mt</sub>	33,32	m <sub>st</sub>	26,92		
	m <sub>st</sub>	26,92	m <sub>t</sub>	7,24		
ilość uderzeń: 17	W=	6,40	:	19,68		32,52%
Nacz.Nr	m <sub>mt</sub>	36,23	m <sub>st</sub>	28,61		
	m <sub>st</sub>	28,61	m <sub>t</sub>	6,12		
ilość uderzeń: 12	W=	7,62	:	22,49		33,88%



Badanie wykonał:

# Wyniki badań laboratoryjnych próbek gruntu

## Badanie granic konsystencji

Temat: Wisznia Mała

Nazwa gruntu: glina

Nr otworu O9

Głębokość 2,2-2,5 m

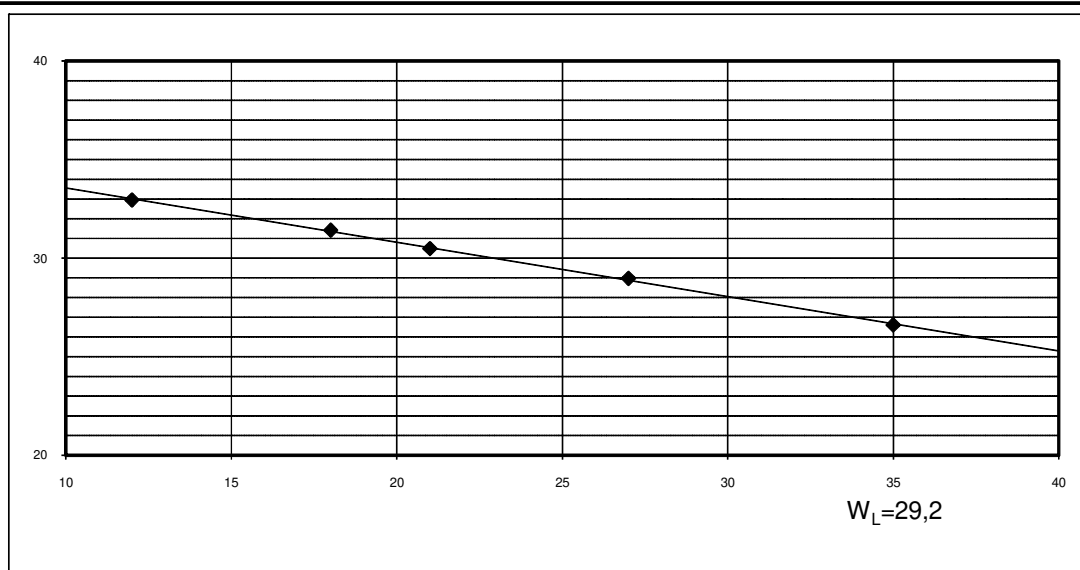
Wyniki	Wilgotność					
W <sub>n</sub> = 16,16 W <sub>p</sub> = 15,01 W <sub>L</sub> = 29,2	Nr par.	m <sub>mt</sub>	53,20	m <sub>st</sub>	46,71	16,16%
I <sub>L</sub> =(W <sub>n</sub> -W <sub>p</sub> ):(W <sub>L</sub> -W <sub>p</sub> )= 0,08		m <sub>st</sub>	46,71	m <sub>t</sub>	6,62	
I <sub>p</sub> =W <sub>L</sub> -W <sub>p</sub> = 14,19		W=	6,49	:	40,09	16,19%
stan: tpi	Nr par.	m <sub>mt</sub>	55,97	m <sub>st</sub>	49,13	
spistość: średnio spoisty		m <sub>st</sub>	49,13	m <sub>t</sub>	6,71	
		W=	6,84	:	42,42	16,12%

### Granica plastyczności

Nacz. Nr	m <sub>mt</sub>	13,08	m <sub>st</sub>	12,25		
	m <sub>st</sub>	12,25	m <sub>t</sub>	6,72		
	L <sub>p</sub> =	0,83	:	5,53		15,01%
Nacz. Nr	m <sub>mt</sub>		m <sub>st</sub>	0		
	m <sub>st</sub>		m <sub>t</sub>			
	L <sub>p</sub> =	0	:	0		

### Granica płynności

Nacz.Nr	m <sub>mt</sub>	36,25	m <sub>st</sub>	30,12		
	m <sub>st</sub>	30,12	m <sub>t</sub>	7,08		
ilość uderzeń: 35	W=	6,13	:	23,04		26,61%
Nacz.Nr	m <sub>mt</sub>	38,85	m <sub>st</sub>	31,62		
	m <sub>st</sub>	31,62	m <sub>t</sub>	6,66		
ilość uderzeń: 27	W=	7,23	:	24,96		28,97%
Nacz.Nr	m <sub>mt</sub>	38,63	m <sub>st</sub>	31,37		
	m <sub>st</sub>	31,37	m <sub>t</sub>	7,56		
ilość uderzeń: 21	W=	7,26	:	23,81		30,49%
Nacz.Nr	m <sub>mt</sub>	36,48	m <sub>st</sub>	29,47		
	m <sub>st</sub>	29,47	m <sub>t</sub>	7,16		
ilość uderzeń: 18	W=	7,01	:	22,31		31,42%
Nacz.Nr	m <sub>mt</sub>	35,76	m <sub>st</sub>	28,59		
	m <sub>st</sub>	28,59	m <sub>t</sub>	6,83		
ilość uderzeń: 12	W=	7,17	:	21,76		32,95%



Badanie wykonał:

# Wyniki badań laboratoryjnych próbek gruntu

## Badanie granic konsystencji

**Temat:** Wisznia Mała

Nazwa gruntu: glina

Nr otworu O10

Głębokość 2,3-2,6 m

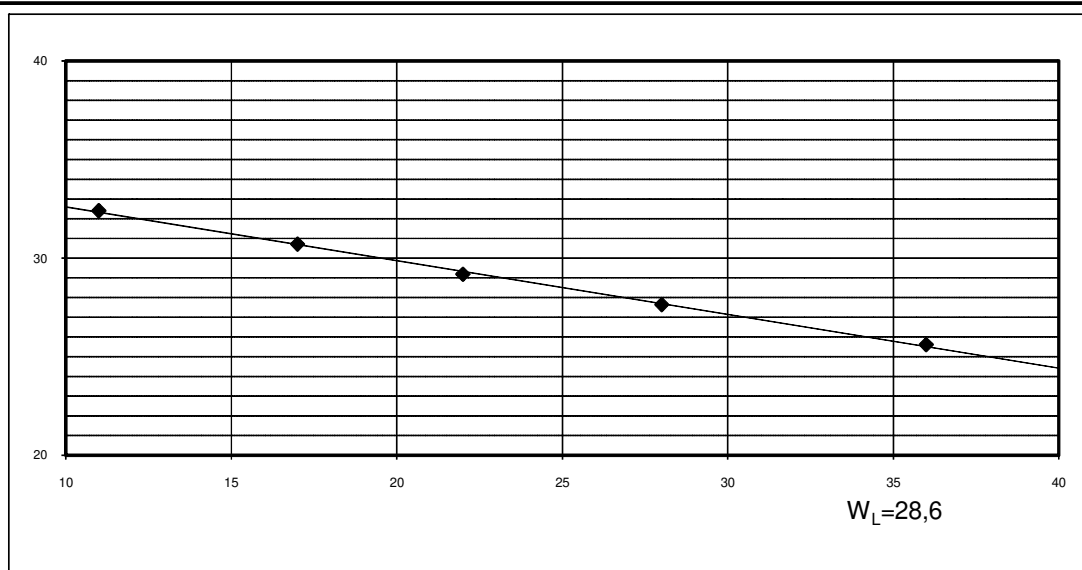
Wyniki	Wilgotność					
W <sub>n</sub> = 14,55 W <sub>p</sub> = 14,02 W <sub>L</sub> = 28,6	Nr par.	m <sub>mt</sub>	61,61	m <sub>st</sub>	54,58	14,55%
I <sub>L</sub> =(W <sub>n</sub> -W <sub>p</sub> ):(W <sub>L</sub> -W <sub>p</sub> )= 0,04		m <sub>st</sub>	54,58	m <sub>t</sub>	6,71	
I <sub>p</sub> =W <sub>L</sub> -W <sub>p</sub> = 14,58		W=	7,03	:	47,87	14,69%
stan: tpi	Nr par.	m <sub>mt</sub>	60,15	m <sub>st</sub>	53,41	
spistość: średnio spoisty		m <sub>st</sub>	53,41	m <sub>t</sub>	6,64	
		W=	6,74	:	46,77	14,41%

### Granica plastyczności

Nacz. Nr	m <sub>mt</sub>	13,07	m <sub>st</sub>	12,32		
	m <sub>st</sub>	12,32	m <sub>t</sub>	6,97		
	L <sub>p</sub> =	0,75	:	5,35		14,02%
Nacz. Nr	m <sub>mt</sub>		m <sub>st</sub>	0		
	m <sub>st</sub>		m <sub>t</sub>			
	L <sub>p</sub> =	0	:	0		

### Granica płynności

Nacz.Nr	m <sub>mt</sub>	34,65	m <sub>st</sub>	29,16		
	m <sub>st</sub>	29,16	m <sub>t</sub>	7,72		
ilość uderzeń: 36	W=	5,49	:	21,44		25,61%
Nacz.Nr	m <sub>mt</sub>	37,17	m <sub>st</sub>	30,87		
	m <sub>st</sub>	30,87	m <sub>t</sub>	8,08		
ilość uderzeń: 28	W=	6,30	:	22,79		27,64%
Nacz.Nr	m <sub>mt</sub>	37,08	m <sub>st</sub>	30,28		
	m <sub>st</sub>	30,28	m <sub>t</sub>	6,98		
ilość uderzeń: 22	W=	6,80	:	23,30		29,18%
Nacz.Nr	m <sub>mt</sub>	38,41	m <sub>st</sub>	31,06		
	m <sub>st</sub>	31,06	m <sub>t</sub>	7,13		
ilość uderzeń: 17	W=	7,35	:	23,93		30,71%
Nacz.Nr	m <sub>mt</sub>	39,80	m <sub>st</sub>	31,85		
	m <sub>st</sub>	31,85	m <sub>t</sub>	7,32		
ilość uderzeń: 11	W=	7,95	:	24,53		32,41%



Badanie wykonał:

**Tabela parametrów geotechnicznych**

Stratygrafia	Symbol warstwy geotechnicznej	Rodzaj gruntu	Symbol gruntu wg PN-B-02480:1986	Symbol gruntu wg PN-EN 14688-1:2006	Stopień zagęszczenia $I_b$	Stopień plastyczności $I_L$	Grupa konsolidacyjna	Gęstość właściwa $\rho_s$ [g/cm <sup>3</sup> ]	Gęstość objętościowa $\rho$ [g/cm <sup>3</sup> ]	Gęstość objętościowa szkieletu gruntowego $\rho_d$ [g/cm <sup>3</sup> ]	Wilgotność naturalna $W_n$ [%]	Kąt tarcia wewnętrzznego $\Phi_u$ [°]	Spójność $C_u$ [kPa]	Moduł odkształcenia pierwotnego $E_0$ [MPa]	Edometryczny moduł ścisłości pierwotnej $M_0$ [MPa]								
$x^{(n)}$ - wartość charakterystyczna parametru obliczeniowego					wartość określona met. A			$\rho_s^{(n)}$	$\rho_s^{(r)}$	$\rho^{(n)}$	$\rho^{(r)}$	$\rho_d^{(n)}$	$\rho_d^{(r)}$	$w_n^{(n)}$	$w_n^{(r)}$	$\phi_u^{(n)}$	$\phi_u^{(r)}$	$c_u^{(n)}$	$c_u^{(r)}$	$E_0^{(n)}$	$E_0^{(r)}$	$M_0^{(n)}$	$M_0^{(r)}$
$x^{(r)}$ - wartość obliczeniowa parametru obliczeniowego				$\gamma_m$ - współczynnik materiałowy dla gruntu				1,0	0,9	1,0	0,9/0,8	1,0	0,9	1,0	1,1/1,2	1,0	0,9	1,0	0,9/0,8	1,0	0,9	1,0	0,9
$Q_h$	Ib	Piasek drobny, piasek pyłasty	$P_d, P_\pi$	Fsa, siSa	0,37	-	-	2,65	2,39	1,75	1,58	1,51	1,36	16,0	17,6	29,8	26,8	-	-	36,1	32,5	48,4	43,6
$G_p$	IIa	Piasek średni	$P_s$	MSa	0,70	-	-	2,65	2,39	2,05	1,85	1,74	1,56	18,0	19,8	34,2	30,8	-	-	111,1	100,0	132,2	119,0
	IIb	Piasek średni zagliniony	$P_{s_{zagl}}$	clMSa	0,50	-	-			1,85	1,67	1,62	1,46	14,0	15,4	33,0	29,7	-	-	79,9	71,9	94,7	85,2
		Piasek średni	$P_s$	MSa	0,50	-	-			2,00	1,80	1,61	1,45	24,0	26,4								
	IIc	Piasek średni zagliniony	$P_{s_{zagl}}$	clMSa	0,33	-	-			1,95	1,76	1,56	1,40	25,0	27,5	31,9	28,7	-	-	58,9	53,0	69,9	62,9
	B2a	Gлина	G	sasiCl	-	0,05	B	2,67	2,40	2,03	1,83	1,85	1,67	15,5	17,1	21,1	19,0	37,7	33,9	42,5	38,2	55,9	50,3
		Piasek gliniasty	Pg	clSa	-			2,65	2,39	2,15	1,94	1,90	1,71	13,0	14,3								
		Gлина pyłasta	$G_\pi$	clSi	-			2,68	2,41	2,10	1,89	1,75	1,58	20,0	22,0								
		Gлина zwięzła	Gz	siCl	-			2,68	2,41	2,10	1,89	1,78	1,60	18,0	19,8								
	B2b	Gлина	G	sasiCl	-	0,20		2,67	2,40	2,05	1,85	1,85	1,67	17,7	19,5	18,3	16,4	31,5	28,4	28,0	25,2	36,9	33,2
		Gлина pyłasta	$G_\pi$	clSi	-			2,68	2,41	2,10	1,89	1,75	1,58	20,0	22,0								
		Gлина piaszczysta	Gp	clSa	-			2,67	2,40	2,20	1,98	1,96	1,77	12,0	13,2								
	B3	Gлина	G	sasiCl	-	0,30		2,67	2,40	2,05	1,85	1,69	1,52	21,0	23,1	16,4	14,8	28,0	25,2	22,2	20,0	29,3	26,3
	A1	Gлина	G	sasiCl	-	0	A	2,67	2,40	2,15	1,94	1,85	1,67	16,0	17,6	25,0	22,5	50,0	45,0	67,5	60,7	80,6	72,5
	A2a				-	0,05		2,67	2,40	2,15	1,94	1,85	1,67	16,0	17,6	24,1	21,7	47,0	42,3	57,8	52,0	68,9	62,0
A2b	Gлина piaszczysta	Gp	clSa	-	0,15	2,67		2,40	2,20	1,98	1,96	1,77	12,0	13,2	22,4	20,2	41,7	37,5	43,7	39,3	51,9	46,7	
	Piasek gliniasty	Pg	clSa	-		2,65		2,39	2,15	1,94	1,90	1,71	13,0	14,3									
$Q_h$	OR2	Namul gliniasty	Nmg	siOr	-	0,04	C	-	-	2,01	1,61	-	-	26,9	32,3	-	-	20,0	16,0	-	-	-	-
	NN	nasyp niekontrolowany	nN	Mg	-	-	-	nie określono ze względu na niekontrolowany charakter															